جامعة محمد خيضر بسكرة

كلية علوم الدويوة علوم المادة



مذكرة ماستر

علوم المادة فيزياء فيزياء المكثفة

رقم: أدخل رقم تسلسل المذكرة

إعداد الطالب: بلقاسمي لمياء يوم:02/06/2025

تأثير التطعيم المشترك على خواص الطبقات الرقيقة لأكسيد الكوبالت 40300

وهاب عبد الوهاب أ جامعة بسكرة رئيس بلحمرة نجاة أ. مح أ جامعة بسكرة مقرر علمي كنزة أ. مح أ جامعة بسكرة مناقش

السنة الجامعية:2024-2025

لجنة المناقشة:

الشكر والتقدير

الحمد لله الذي هدانا لهذا، وما كنا لنهتدي لولا أن هدانا الله أسأله تعالى أن يجعل هذا الجهد خالصًا لوجهه الكريم وأن يرزقنا به العلم والنفع في الدنيا والآخرة.

أتوجه بخالص الشكر وعظيم الامتنان إلى أستاذتي المشرفة بلحمرة نجاة التي لم تبخل عليّ بتوجيهاتها السديدة ولا بدعمها المتواصل فكانت نعم المرافقة خلال فترة إعدادي لهذه المذكرة، فلها مني كل التقدير والاحترام.

كما أتوجه بجزيل الشكر والامتنان إلى رئيس لجنة المناقشة الأستاذ وهاب عبد الوهاب، على تشريفه لنا بقبول رئاسة اللجنة

وإلى الأستاذة علمي كنزة على قبولها فحص هذا العمل ومناقشته، وعلى ملاحظاتها القيّمة التي أثرت هذا البحث.

ولا يفوتني أن أعبر عن بالغ امتناني لكل الأساتذة الذين لم يبخلوا علينا بعلمهم وتوجيهاتهم طيلة سنوات الدراسة.

وإلى كل من ساهمة في إتمام هذا العمل، لقد كان لدعمهما وتوجيههما الأثر الكبير فيما وصلت إليه من بينهم الأستاذ خروب النوى والأستاذة بن تركى نورة وشنى شيماء.

وإلى كل أعضاء مخبر البحث العلمي للفيزياء والشرائح الرقيقة وتطبيقاتها.

وإلى مسؤولي مخابر الفيزياء والكيمياء الذين كانوا عونا في أداء التجارب.

وإلى طالبة الدكتورة حفاص صباح لها الشكر الجزيل على ما قدمته لي من مساعدة.

وسلام عليكم ورحمة الله وبركاته

الإهداء

بسم الله الرحمن الرحيم

الحمد لله الذي وفقني وأعانني وسهل لي سبل العلم والعمل, وإلى الله سبحانه وتعالى الشكر والثناء على نعمته التي لا تُعدّ ولا تحصى وعلى توفيقه الذي كان السبب في إتمام هذا العمل بفضله وحده تحققت هذه اللحظة التي طالما انتظرتها.

اهدي تخرجي إلى من دعواتهم سرّ نجاحي ورضاهم سرّ توفيقي إلى من علّماني معنى الصبر ومنحني أجنحة الطموح.

إلى أمي التي كان دعائها رفيق دربي وصبرها ودعمها هما سر نجاحي في كل حين، كانت دومًا مصدر قوتى وحبها هو الحافز الذي دفعنى للمضى قدمًا.

إلى أبي الذي زين اسمي بأجمل الألقاب ودعمني بلا حدود وأعطاني بلا مقابل إلى من علمني أن الدنيا كفاح وسلاحها العلم والمعرفة وداعمي الأول في مسيرتي وسندي وقوتي فأنتم السبب الأول في كل ما حققته

إلى إخوتى عماد، حكيم حفظهم الله.

إلى صديقاتي رفاق الدرب الذين كان لوجودهم أثر جميل في كل محطة وشاركوا معي أجمل اللحظات وأصعبها أمينة، دعاء، آية، كوثر،أميمة.

أهديكم جميعًا هذا العمل مع خالص الحب والتقدير سائلًا الله العلي القدير أن يوفقنا جميعًا لما فيه خيرلنا وخير الأمة لي الإسلامية.

بلقاسمي لمياء

الفهرس

<i>II</i>	الشكر والتقدير
II	الشكر والتقدير الإهداء
	الفهر س
VI	قائمة الأشكال
<i>IX</i>	قائمة الجداول
	المقدمة العامة
	المراجع:
5	الفصل الأول: عموميات حول أكسيد الكوبالت C03O4
6	1 . 1 . المقدمة
	2. Iكسيد الكوبالت Co ₃ O ₄
7	1.2. I خصائص اكسيد الكوبالت
7	1.1.2. I الخصائص البنيوية
8	2.1.2. I الخصائص البصرية
10	3.1. 2. I الخصائص الكهربائية
11	4.1. 2. I الخصائص المغناطسية
12	2.2. I. طرق توليف الشرائح رقيقة ₄ Co ₃ O ₄
13	1.1.2.2.I مبدأ عمل تقنية رذاذ الانحلال الحراري
14	2.2. 2. يقنية المحلول الهلامي (sol-gel):
15	1.2.2. 2. I. الترسيب بالطرد المركزي(Spin-Coating)
15	2.2.2. 2. Iالترسيب بالغمس (Dip-coating)
16	322.I الرش المغنطرون(IRF-magnetron sputtering)
17	4.2. 2. I. ترسيب الحمام الكيميائي
18	المطعم $_{\mathrm{Co_3O_4}}$ المطعم السابقة المنجزة على $_{\mathrm{Co_3O_4}}$ المطعم
21	4. 2.I خطبيقات أكسيد الكوبالت Co ₃ O ₄
22	المراجع:
26	الفصل الثاني:
27	1.II المقدمة
27	2.II. تقنية الانحلال الحراري بالرش(spray pyrolyse)
28	1.2.II مبدأ عمل تقنية الانحلال الحراري بالرش

29	II. 3. المواد الكيميائية المستعملة
31	4.II تحضير الشرائح الرقيقة
31	1.4.II اختيار الركائز
32	2.4.II. تنظيف الركائز
32	3.4.II. طريقة تحضير المحاليل
34	4.4.II. طريقة الترسيب
34	1.4.4.II طريقة حساب نسب التطعيم
35	2.4.4.II شروط التجريبية لتوليف الشرائح الرقيقة
35	J.I. تقنيات توصيف الأغشية الرقيقة
35	1.5.II.حيود الأشعة السينية (XRD)
37	1.1.5.II. أبعاد البلورة
38	2.5.II مطيافية الأشعة فوق البنفسجية والمرئية (UV-VIS)
39	2.2.5.II سمك الغشاء(Swanepoel method):
39	3.2.5.II. فجوة النطاق الممنوع الضوئيEg
40	4.2.5.II. طاقة أورباخ.
41	3.5. II النقاط الأربع
42	1.3.5.II. المقاومة النوعية.
43	المراجع:
45	الفصل الثالث: عرض النتائج، تحليلها ومناقشتها
46	I.II. مقدمة
48	2.III. الخصائص البنيويةStructural properties
46	1.2. III ميود الأشعة السينيةDRX
49	2.2.III تحديد ثابت الشبكة:
49	3.2.III. الحجم الحبيبي والانخلاع والتشوه:
51	الخصائص البصريةOpticalproperties
51	1.3.III. النفاذية
53	2.3.III الفاصل الطاقي Eg
	" 3.3.III. طاقة اورباخ Eu
	- ·

57	4.III. الخصائص الكهربائية Electrical properties
62	المراجع:
613	الخاتمة العامة
65	الملخص

قائمة الأشكال

الصفحة	عنوان الشكل	
الفصل الثاني		
9	الشكل (I.1): الرسم توضيحي لبنية الكوبالت Co3O4.	
9	الشكل (2.1): الامتصاصية Co ₃ O ₄ في شكل فيلم كدالة للطول الموجي تتراوح من المرئي إلى القريب من الأشعة تحت الحمراء.	
10	الشكل(3.I): تأثير الحقل البلوري على المدارات ثلاثية الأبعاد لموقع رباعي الأوجه وموقع ثماني الأوجه.	
11	الشكل(4.I): الرسم التخطيطي لبنية النطاقات لأوكسيد الكوبالت C03O4.	
13	الشكل(5.I): الرسم تخطيطي للتكوين البارا مغناطيسية ومعامل اقتران4Co3O.	
15	الشكل (6. I): يوضح التركيب المستعمل طريقة الرذاذ الانحلال الحراري	
15	الشكل(I-T): الرسم توضيحي لمراحل تقنية صول – جال	
16	الشكل(I-8): الرسم تخطيطي لمراحل طرز المركزي	
17	الشكل(I-9): التقنية الترسيب بالغمس	
18	الشكل (I-I): مبدأ الرش المنغطروني	
19	الشكل (II):مخطط تمثيلي لمعدات الحمام الكيميائي	
	الفصل الثاني	

29	الشكل (1.II): رسم تخطيطي يوضح تقنية الانحلال الحراري بالرش.
30	الشكل (2.II): حالات الترسيب المختلفة اعتمادا على حجم القطرة.
33	الشكل (3.II): صورة الركائز المستعملة.
34	الشكل (4.II): خطوات تحضير .
35	الشكل (II-5): طريقة تحضير المحاليل.
37	الشكل(II-6): مخطط حيود Bragg.
38	الشكل (II-7): مقياس الحيود"ريجاكو ميني فليكس 600".
39	الشكل(II-8): تمثيل تخطيطي لمقياس الطيف الضوئي.
41	الشكل (II-9): تحديد طاقة الفجوة.
42	الشكل (II-II): تحديد طاقة أورباخ.
43	الشكل(II-II): الرسم تخطيطي لجهاز النقاط الأربعة.
	الفصل الثالث
48	الشكل (III-1): أطياف الأشعة السينية DRX للشرائح الرقيقة لأكسيد الكوبالت المطعم بالنحاس والبسميث عند نسب مختلفة.
49	الشكل (JCPDS 01-073-1701).

الشكل (III-3): تغيرات كل من حجم البلوري (D) وكثافة الانخلاع (δ) والتشوه (٤) الشكل (III-3): تغيرات كل من حجم البلوري (D) وكثافة الانخلاع (δ) والتشوه (٤)	52
شكل (III-4): أطياف النفاذية الضوئية لأكسيد الكوبالت المطعم بدلالة لطول موجة.	53
شكل (III): منحنى تغيرات $(\alpha hv)^2$ بدلالة (hv) لطبقات الرقيقة من أكسيد $(\alpha hv)^2$ المطعم بنسب مختلفة من النحاس وبسميث.	55
شكل (6III): منحنى تغيرات (α) ابدلالة (hv) لطبقات الرقيقة من أكسيد كوبالت C0 ₃ O ₄ المطعم بنسب مختلفة من النحاس وبسميث.	57
شكل (III-7): التباين في طاقة فجوة وطاقة اورباخ بدلالة نسب التطعيم المختلفة.	58
شكل (III-8): منحنى تغيرات الموصلية الكهربائية والمقاومة السطحية بدلالة نسب تطعيم.	59

قائمة الجداول

قائمة الجداول

الصفحة	عنوان الجدول	
	الفصل الأول	
8	الجدول (1-I): الخصائص الكيميائية والفيزيائية Co_3O_4 .	
9	الجدول (2.I): البيانات البلورية لCO3O4 عند درجة حرارة الغرفة.	
الفصل الثاني		
31	الجدول(II-I): يمثل الخصائص الفيزيائية للمادة أولية كلوريد الكوبالت المميه.	
32	الجدول(II-2): الخصائص الفيزيائية لكلوريد النحاس الثنائي.	
32	الجدول(II-3): الخصائص الفيزيائية لكلوريد البسميث الثلاثي.	
	الفصل الثالث	
50	الجدول (III-1): الخصائص البلورية للشرائح الرقيقة لأكسيد الكوبالت المطعم بالنحاس والبسميث.	
51	الجدول (III-2): قيم المتغيرات البنيوية لأغشية Co3O4المطعمة بالنحاس و	
	الجدول (111-2). فيم المتعيرات البنيوية وعسية 2030 المصعمة بالتحاس و	
55	الجدول (III-3): قيم الفاصل الطاقي وطاقة أورباخ لأكسيد الكوبالت المطعم ب	
	Cuو. Bi	
58	الجدول (III-4): ملخص النتائج المتحصلة عليها بطريقة النقاط الأربعة.	

المقدمة العامة

المقدمة العامة

تعد أكاسيد المعادن الانتقالية(TMOs)من المواد الهامة التي تُستخدم على نطاق واسع في الأجهزة الكهروضوئية والإلكترونية، نظرًا لتنوع خصائصها الفيزيائية والكيميائية ومرونتها في التعديل من خلال التطعيم أو تغيير ظروف التحضير. هذه الأكاسيد يمكن تصنيفها إلى نوعين رئيسيين وفقًا لطبيعة ناقلي الشحنة: أكاسيد من النوع N، وأكاسيد من النوع P.

أكسيد الكوبالت، Co₂O₃Oهو أحد أكاسيد المعادن الانتقالية (TMO) من النوع P الذي أثارة اهتمام العديد من الباحثين، حيث يوجد في ثلاث أشكال هي (Co₂O₃)، (Co₂O₃)، و(Co₂O₃O) يعتبر Co₃O صعب الحصول عليه بسبب عدم استقراره، عند درجة حرارة الغرفة، يتحول Co₂O₃O، بسهولة إلى، Co₃O₃O لذا فإن المرحلة الأكثر استقرارًا هي، Co₃O₄O₃O نيت السينيل المكعب من النوع، AB₂O₄O₃O حيث يشغل أيون 2O₃O الموقع الأكثر استقرارًا هي، AB₂O₃O₄O₃O المواقع ثمانية السطوح[2]، إذ يتمتع بخواص كهرو فيزيائية مميزة يمكن تحسينها وتعديلها باستخدام تقنيات التطعيم الأحادي أو المشترك، وله نطاقين مباشرين عند درجة حرارة الغرفة بقيم 1.48 ev و 2.19 ev كما يتمتع بامتصاص قوي في مجال الأشعة فوق البنفسجية والأشعة المرئية (UV-VIS)، وموصلية كهربائية جيدة، لذلك يُعتبر من أكثر المواد شبه الموصلة وعوداً لتطبيقات تكنولوجية متعددة، مثل تخزين الطاقة، والتحفيز غير المتجانس، واستخدامه كأنودات في بطاريات الليثيوم أيون القابلة لإعادة الشحن، وكجهاز لامتصاص الطاقة الشمسية[3-4].

يمكن تطوير طبقات أكسيد الكوبالت وذلك باستخدام طرق وتقنيات مختلفة مثل الترسيب الكيميائي للأبخرة (CVD)، والترسيب الفيزيائي للأبخرة (PVD)، وتقنية السول-جيل(Sol-Gel)، والطرق الكهروكيميائية...إلخ. ومن بين هذه الطرق نجد طريقة الانحلال الحراري بالرش

(Spray Pyrolysis Pneumatique)[5]، وهي تقنية بسيطة جدًا وذات فعالية من حيث التكلفة، من بين مزاياها القدرة على ترسيب طبقات رقيقة مع تحكم دقيق في السمك والتركيب، قمنا باستخدام هذه

المقدمة العامة

التقنية بهدف دراسة تأثير تطعيم المشترك لأكسيد الكوبالت بالنحاس والبسميث على الخصائص البنيوية، البصرية، والكهربائية للطبقات الرقيقة من، Co₃O₄، وذلك على الطبقات الرقيقة من، Co₃O₄ المترسبة على ركائز زجاجية تمت عملية التحضيير والتوصييف للطبقات الرقيقة في مخبر فيزياء الطبقات الرقيقة وتطبيقاتها بجامعة محمد خيضر بسكرة ينقسم هذا العمل إلى ثلاثة فصول مختلفة كما يلي:

- ❖ الفصل الأول: يشمل دراسة عامة حول أكاسيد المعادن الانتقالية(TMOs)، بالإضافة إلى التركيز على المادة المدروسة في هذا العمل وهي أكسيد الكوبالت، Co₃O₃سيتم خلال هذا الفصل وصف أهم خصائصه الفيزيائية (البنيوية، البصرية، الكهربائية والمغناطسية) ، و بعض تقنيات الترسيب التي تُستخدم حالياً للحصول على طبقات رقيقة، و ملخصًا لأبرز الأعمال البحثية التي تناولت تأثير تطعيم لهذا الأكسيد ببعض العناصر، بالإضافة الي استعراض تطبيقاته المتعددة في المجالات التكنولوجية والصناعية المختلفة.
- ♦ الفصل الثاني: سنقدم فيه التقنية المستعملة في هذا العمل وهي تقنية الانحلال الحراري بالرش وكذلك طريقة التحضير والترسيب الشرائح الرقيقة، وأيضاسيتم التطرق إلى مختلف تقنيات التحليل والتوصيف المستخدمة لدراسة خصائص الطبقات الرقيقة، مثل تقنية حيود الأشعة السينية(XRD)، والمطيافية الأشعة فوق البنفسجية والمرئية(UV-Visible)، وتقنية القياس بالنقاط الأربع لتحديد الخصائص الكهربائية.
- ♦ الفصل الثالث: يجمع هذا الفصل النتائج التجريبية المختلفة التي تم الحصول عليها من الترسيب الطبقات الرقيقة لأكسيد الكوبالت 40،00 المطعم بالنحاس والبسميث مع التركيز على الخصائص البنيوية، البصرية، والكهربائية للمادة المدروسة.

وفي الختام نجمع اهم النتائج المتحصل عليها في خاتمة عامة.

المراجع المراجع:

[1] Xu R, Wang J, Li Q, Sun G, Wang E, Li S, Gu J, Ju M. Porous cobalt oxide (Co₃O₄) nanorods: facile syntheses, optical property, and application in lithium-ion batteries. J Solid State Chem. 2009;182:3177-82.

[2] El Bachiri A, Soussi L, Karzazi O, Louardi A, Rmili A, Erguig H, El Idrissi B. Electrochromic and photoluminescence properties of cobalt oxide thin films prepared by spray pyrolysis. Spectrosc Lett. 2019;52:66-73.

[3] Abbas SZ, Aboud AA, Irfan M, Alam S. Effect of substrate temperature on structure and optical properties of Co₃O₄ films prepared by spray pyrolysis technique. In: IOP Conference Series: Materials Science and Engineering. 2013;60(1):012058.

[4] Saptura E, Muhammad S, Sun H, Ang H, Tade MO, Wang S. A comparative study of spinel structured Mn₃O₄, Co₃O₄ and Fe₃O₄ nanoparticles in catalytic oxidation of phenolic contaminants in aqueous solutions. J Colloid Interface Sci. 2013;407:467–73.

[5] Gavrilović TV, Jovanović DJ, Dramićanin MD. Synthesis of multifunctional inorganic materials. In: Nanomaterials for Green Energy. 2018. p. 55-81.

الفصل الأول: عموميات حول أكسيد الكوبالت Co₃O₄

1.I. المقدمة

اكاسيد المعادن الانتقالية (Transition metal oxides(TMOs عبارة عن مركبات نانوية شبه موصلة semiconductor من ذرات اكسجين مرتبطة بمعادن انتقالية [1]. تتميز هذه الاكاسيد بخصائص الكترونية ومغناطسية وبصرية فريدة [3،2]. عرفت اكاسيد المعادن الانتقالية تطبيقات مختلفة، بما في ذلك الالكترونيات وتخزين الطاقة والاستشعار [3]، كما يمكن استخدامها في تطبيقات الطاقات الشمسية نظرا لخصائصها الكهربائية المميزة كفجوات النطاق Gap Energy)Egهذا ما يعزز الكفاءة في تقنية تقنيات الطاقة المتجددة [4,3]، وقد عرفت (TMOs) اهتماما كبيرا في التحفيز الضوئي خاصة في تقنية المياه الملوثة [5،1].

يعد أكسيد الكوبالت، وخاصة Co_3O_4 ، أحد أكاسيد الفلزات الانتقالية من النوع Pالتي جذبت اهتمام الباحثين. فهو مستقر في درجة حرارة الغرفة، ويتبلور في هيكل الاسبينيل المكعب، وله امتصاص قوي في نطاق PUV-VIS وموصلية كهربائية جيدة، ويعتبر مادة أشباه الموصلات الواعدة لمختلف التطبيقات التكنولوجية مثل تخزين الطاقة، والمحفزات غير المتجانسة [7:6].

Co₃O₄صيد الكوبالت.2. I

يوجد أكسيد الكوبالت في ثلاث نماذج، وهي أكسيد الكوبالت ثنائي الاكسدة (Co₂O₃) وأكسيد الكوبالت ثلاثي الاكسدة (Co₂O₃O₄)، حيث يعد Co₂O₃O₄ وأكسيد الكوبالت مختلط الاكسدة (Co₃O₄)، حيث يعد يمكن ان يتحلل شيوعًا، نظرًا لاستقرارهما الحراري الممتاز وخصائصهما الفيزيائية والكيميائية الاستثنائية. يمكن ان يتحلل أكسيد الكوبالت Co₃O₄ الي Co₉O₆، وهو الأكثر استقرارا في درجة حرارة الغرفة [8،6]. الجدول (1-I) يلخص اهم خصائصه الفيزيائية والكيميائية.

الجدول(I-I): الخصائص الكيميائية والفيزيائية Co₃O₄[9].

الخصائص الفيزيائية والكيميائية			
Co ₃ O ₄	الصيغة الكيميائية		
g/mol 240.80	الكتلة المولية		
صلب أسود	المظهر		
g/mol 6.07	الكثافة		
1168K	نقطة الانصهار		
1170K	نقطة الغليان		
لا يتحلل في الماء لكن قابل للذوبان في	الذوبان		
الأحماض			

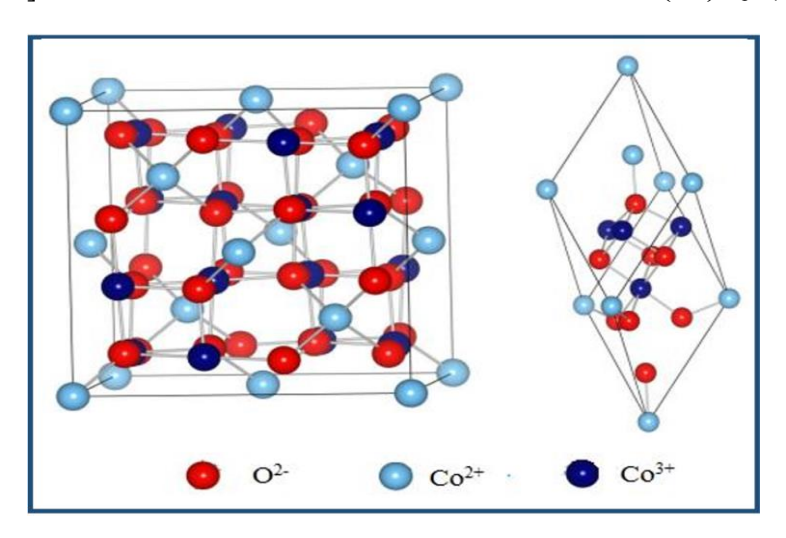
1.2. I خصائص اكسيد الكوبالت

1.1.2. I الخصائص البنيوية

. Al2MgO4 يشبه AB2O4 درت $^{+}$ مثل المواقع الرباعية التي تشغلها أيونات $^{+}$ المواقع الرباعية التي تشغلها أيونات $^{+}$ المواقع التوالي $^{-}$ المواقع الرباعية التي تشغلها أيونات $^{+}$ المواقع التوالي المواقع الرباعية التي مجموعة الفضاء $^{+}$ الفضاء $^{-}$ المسبولية $^{+}$ المسبولية $^{+}$ المواقع وباعتباره مركبًا مختلط التكافؤ، فإن صيغته تكتب على شكل $^{+}$ المواقع رباعي مواقع رباعي $^{+}$ المسبولية المكل $^{+}$ المصنوفات المكعبة المكدسة من المطوح $^{+}$ المحدود $^{+}$

الذرة	مواقع ويكوف	X	Υ	Z
Co ²⁺	8a	-0.125	-0.125	-0.125
Co ³⁺	d16	0.500	0.500	0.500
O^{2-}	32 ^e	0.263	0.263	0.263

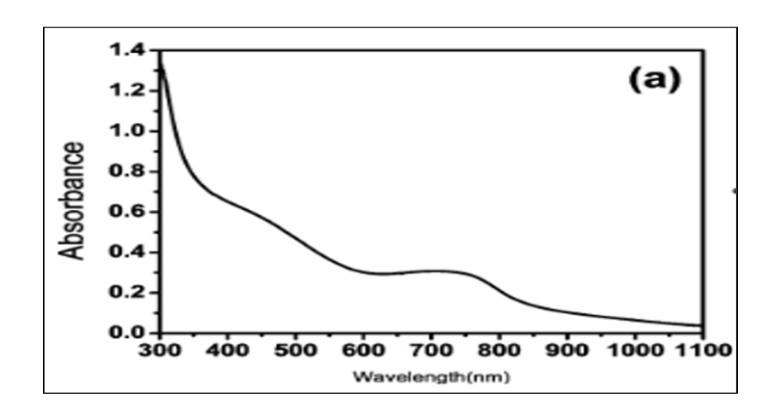
الجدول (2.1): البيانات البلورية ل Co3O4 عند درجة حرارة الغرفة[11].



الشكل(1.I): الرسم توضيحي لبنية الكوبالت 12]Co₃O₄.

الخصائص البصرية البصرية

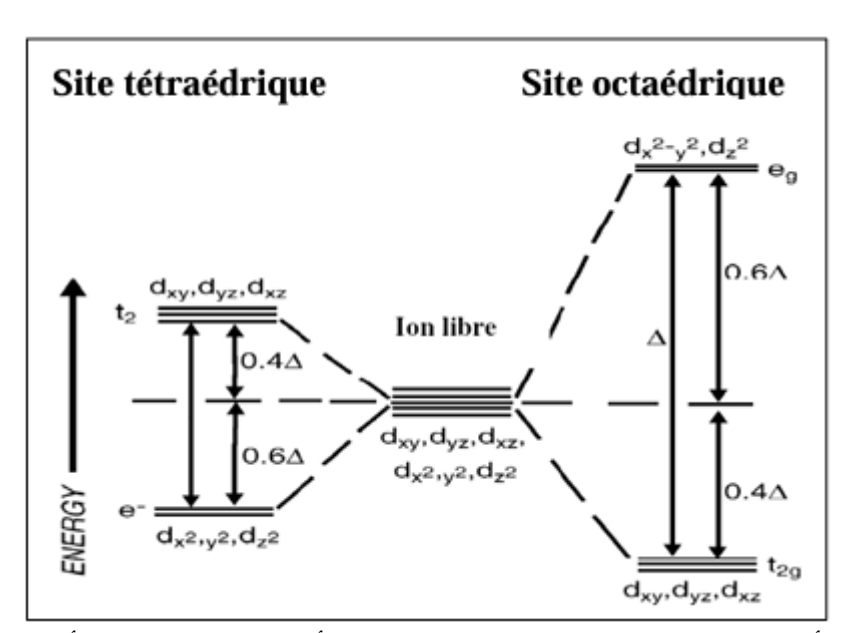
طيف الامتصاص لـCo₃O₄ يتميز بشريطين من الامتصاص، أحدهما يقع في منطقة الأشعة المرئية (VIS) والأخرى في المنطقة القريبة من الأشعة تخت الحمراء (RI) والأخرى في المنطقة القريبة من الأشعة تخت الحمراء (VIS) والأخرى في المنطقة القريبة من الأشعة تخت الحمراء (RI) والأخرى في المنطقة القريبة من الأشعة تخت الحمراء (VIS) والأخرى في المنطقة القريبة من الأشعة تخت الحمراء (VIS) والأخرى في المنطقة القريبة من الأشعة تخت الحمراء (VIS) والأخرى في المنطقة القريبة من الأشعة تخت الحمراء (VIS) والأخرى في المنطقة القريبة من الأشعة تخت الحمراء (VIS) والأخرى في المنطقة القريبة من الأشعة تخت الحمراء (VIS) والأخرى في المنطقة القريبة من الأشعة تخت الحمراء (VIS) والأخرى في المنطقة القريبة من الأشعة تخت الحمراء (VIS) والأخرى في المنطقة القريبة من الأشعة تخت الحمراء (VIS) والأخرى في المنطقة القريبة من الأشعة تخت الحمراء (VIS) والأخرى في المنطقة القريبة من الأشعة تخت الحمراء (VIS) والأخرى في المنطقة القريبة من الأشعة تخت الحمراء (VIS) والأخرى في المنطقة القريبة من الأشعة تخت الحمراء (VIS) والأخرى في المنطقة القريبة من الأشعة تخت الحمراء (VIS) والأخرى في المنطقة القريبة من الأشعة تخت الحمراء (VIS) والأخرى في المنطقة القريبة من الأشعة تخت الحمراء (VIS) والأخرى في المنطقة القريبة من الأشعة القريبة من الأشعة القريبة من الأشعة القريبة المنطقة المن



الشكل(2.1): الامتصاصية 40304 في شكل فيلم كدالة للطول الموجي تتراوح من المرئي إلى الشكل (2.1): القريب من الأشعة تحت الحمراء[10].

من خلال الشكل يمكن وصف الامتصاص الضوئي في نطاقين للطول الموجي: الأول في-300 nm 700والثاني في 1100 nm

- \checkmark نطاق الامتصاص الأول، عند 400 نانومتر، يعزي ذلك إلى انتقال الشحنة بين الذرات" المختلط" بين مدارات $\mathrm{Co}^{+3}(3\mathrm{d}^6)$ 0ومدارات $\mathrm{Co}^{+2}(3\mathrm{d}^7)$ 0ومدارات
- \checkmark نطاق الامتصاص الثاني عند 700 نانومتر، يعزي الى انتقال الشحنة بين الذرات بين مدارات \checkmark نطاق الامتصاص الثاني عند \checkmark المواقع الثمانية الأوجه ومدارات $\ifmmode Co^{+2}\ifmmode Co^{+2}\ifmmode Co^{+2}\ifmmode Co^{+3}\ifmmode Co^{+3}\i$

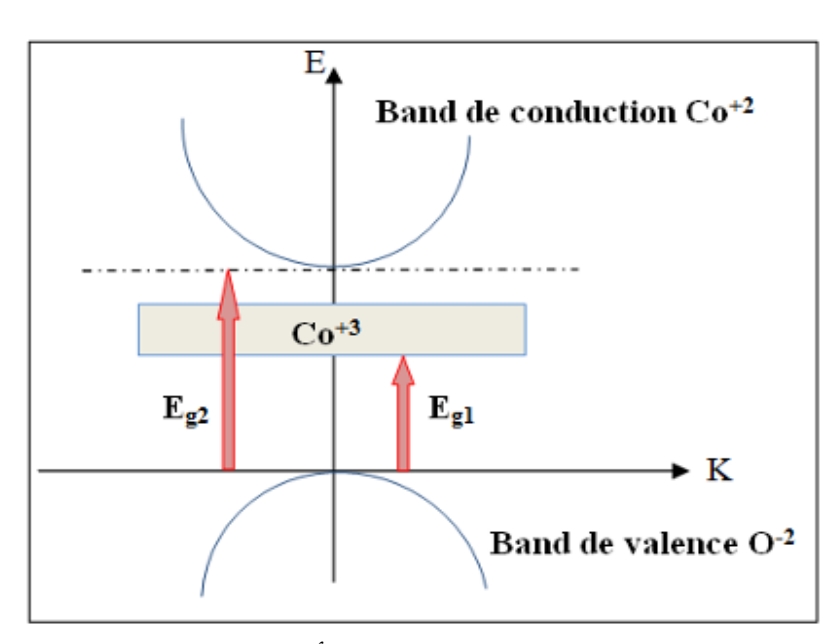


الشكل(3.I): تأثير الحقل البلوري على المدارات ثلاثية الأبعاد لموقع رباعي الأوجه وموقع ثماني الأوجه[13].

أكسيد الكوبالت Co_3O_4 يحتوي على أيونات Co_3^{2+} وأيونات Co_3^{3+} تتميز منطقة التكافؤ بتوزيع قوي لذرات Co_3O_4 بينما تأتي المساهمة الرئيسية في نطاق التوصيل من مدارات Co_3^{2+} بناءا عليه، Co_3^{2+} بناءا كالمدارات Co_3^{3+} والمدارات Co_3^{3+} والمدارات عليه بين المدارات Co_3^{3+} والمدارات Co_3^{3+} والمدارات Co_3^{3+} والمدارات Co_3^{3+} والمدارات Co_3^{3+} والمدارات و

يمكن للإلكترونات الانتقال بين هذه المدارات. هذه الانتقالات تحدث غالبًا في نطاق الفجوة الممنوعة أو بالقرب منها. تسبب هذا في وجود طاقات مميزة تُسمى Eg نتيجة لتوزيع الإلكترونات والانتقالات بين الحالات.عادة، يتم تقسيم المدارات للكوبالت إلى مجموعتين Eg و و t بناءً حسب البنية البلورية (في الحالة المواقع الرباعية او المواقع الثمانية):

- ✓ في حالة +Co³، هناك انتقالات من المدارات p للأوكسجين إلى المدارات Eg الخاصة بـ +Co³التي
 تكون موجودة عند طاقة معينة، تُسمى Eg1.
- Co^{2+} بالنسبة لـ Co^{2+} ، تحدث انتقالات من المدارات P للأوكسجين إلى المدارات Co^{2+} بالنسبة لـ Co^{2+} بالنسبة لـ Co^{2+} تُسمى Co^{2+} بالنسبة لـ Co^{2+} ب



الشكل(4.I): الرسم التخطيطي لبنية النطاقات لأوكسيد الكوبالت Co₃O₄[14].

3.1.2.I الخصائص الكهربائية

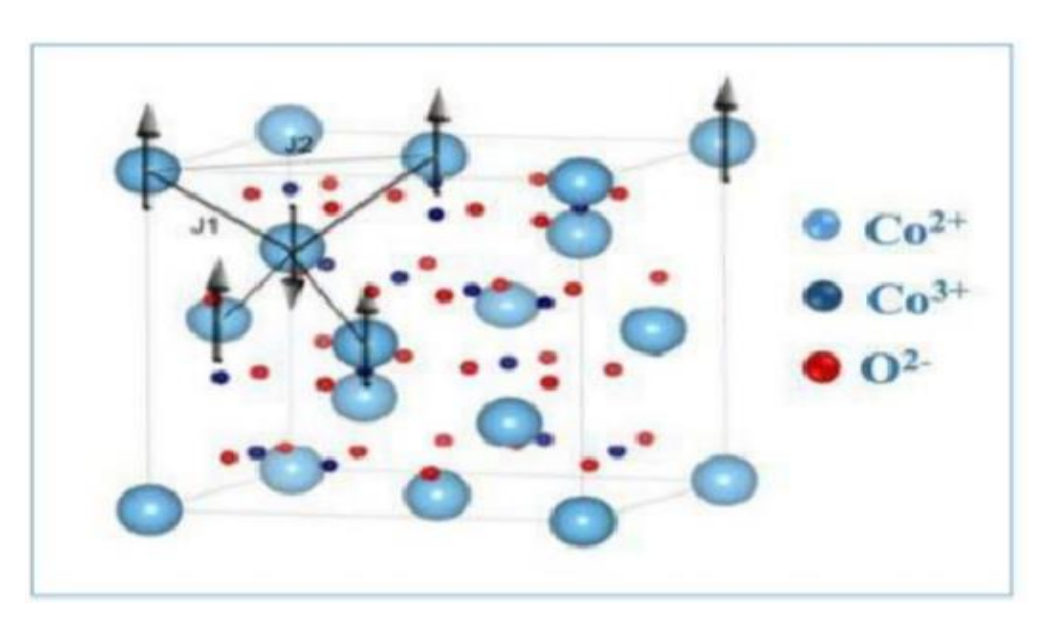
تُفسر خصائص التوصيل الكهربائي في 304، كما هو الحال في معظم أكاسيد الاسبينيل، بشكل عام بظاهرة قفز القطبية الصغيرة. والبولارون هو كيان يتكون من ثقب أو إلكترون محبوس مصحوب بالاستقطاب الذي يحدثه عند إدخاله في مادة صلبة أيونية. ووفقًا لفيروي، فإن هذه القفزات ممكنة بين 10

كاتيونات العنصر نفسه التي تمتلك حالات تأين تختلف بوحدة واحدة وتشغل مواقع بلورية متكافئة. مواقع بلورية متكافئة. تزداد احتمالية القفز بين بين المواقع الثماني الأوجه لأن المسافة بين هذه المواقع أقل من المسافة بين المواقع الرباعية الأوجه عازل في درجة حرارة الغرفة. يكون التوزيع بحيث لا يكون لأي كاتيون له درجة تكافؤ مختلفة على نفس الموقع البلوري للسماح فإن انتقال الشحنة عن طريق القفز. تبلغ قياسات المقاومة النوعية على بلورة واحدة من رتبة ($\Omega.10^6$ cm). ومع ذلك، تم الحصول على قيم مقاومة أقل من رتبة ($\Omega.cm5.1*10^4$) في الأدبيات الخاصة بالسيراميك. يمكن تفسير الانخفاض في المقاومة النوعية عن طريق قياس الأكسجين الفرعي للمركب، والذي يجب أن يقلل جزء من Co^2 إلى Co^2 في موقع ثماني الأوجه لاستعادة الحياد الكهربائي للمركب، ومن ثم يكون التوصيل عن طريق القفز ممكنًا. تكون الموصلية عند درجة الحرارة المنخفضة من النوع Ω 0 وتكون جوهرية عند درجة الحرارة المرتفعة، مع فجوة مقاسة تبلغ Ω 1.0

4.1.2.I. الخصائص المغناطسية

 Co^{2+} يتبلور Co_3O_4 في خلية وحدة مكعبة (F d3m) مع Solution (F d3m) مينبلور Solution (F d3m) المنسقة رباعية السطوح ومواقع Solution (F d3m) المنسقة رباعية السطوح ومواقع Solution (F d3m) المنسقة رباعية السطوح ومواقع Solution (F d3m) المنسقة السطوح تظهر عن أن أيونات Solution (F d3m) الثمانية السطوح تظهر عادي يشار إليه باسم Solution (F d3m) و So

عند درجة الحرارة الغرفة، يكون سلوك Co_3O_4 من النوع البارا مغناطيسي الكلاسيكيمن ناحية أخرى، تحت درجة حرارة رتبة (Néel) تساوي $^{\circ}TN = 40$ K، يكون لها طابع مضاد للمغناطيسية المضادة، ويرجع ذلك أساسًا إلى الاقتران الطفيف بين أيونات $^{\circ}Co^{+2}$ المتجاورة. ومع ذلك، لا يوجد تفاعل مضاد مغناطيسي ذلك أساسًا إلى الاقتران الطفيف بين أيونات $^{\circ}Co^{+2}$ المتجاورة ($^{\circ}Co^{+2}$)، ترجع الخواص المغناطيسية لـ $^{\circ}Co_3O_4$ مضاد بين الحالتين الرباعية الأوجه ($^{\circ}Co^{+2}$) والثمانية الأوجه $^{\circ}Co^{+2}$ الكاتيونات ومن ثَمَّ، تكون كاتيونات $^{\circ}Co^{+2}$ في تكوين عالي الدوران في بيئة رباعي الأوجه [17].



الشكل (5.I) :رسم تخطيطي للتكوين البارا مغناطيسية ومعامل اقتران Co₃O₄[17].

Co₃O₄مرق توليف الشرائح الرقيقة 2.2. I

هناك عدة طرق لإنشاء الأغشية الرقيقة، بما في ذلك الانحلال الحراري بالرش(spray pyrolysis) عدة طرق لإنشاء الأغشية الرقيقة، بما في ذلك الانحلال الحراري بالرش(sol-gel) (RF-magnetron sputtering) و20-7،15،18] و20-7،15،18] طريقة الانحلال الحراري بالبخاخات (nebulized spray pyrolysis method) [25]، وترسيب الحمام الكيميائي (chemical bath deposition) [26].

1.2. 2. I تقنية رذاذ الانحلال الحراري (Spray Pyrolysis)

عملية «التحلل الحراري بالرش» هو عملية يتم فيها ترسيب غشاء رقيق عن طريق رش محلول على سطح ساخن، حيث تتفاعل المكونات لتشكيل مركب كيميائي. يتم اختيار الكواشف الكيميائية بحيث تكون المنتجات غير المطلوب متطايرة عند درجة حرارة الترسب. العملية مفيدة بشكل خاص لترسب الأكسيد[27].

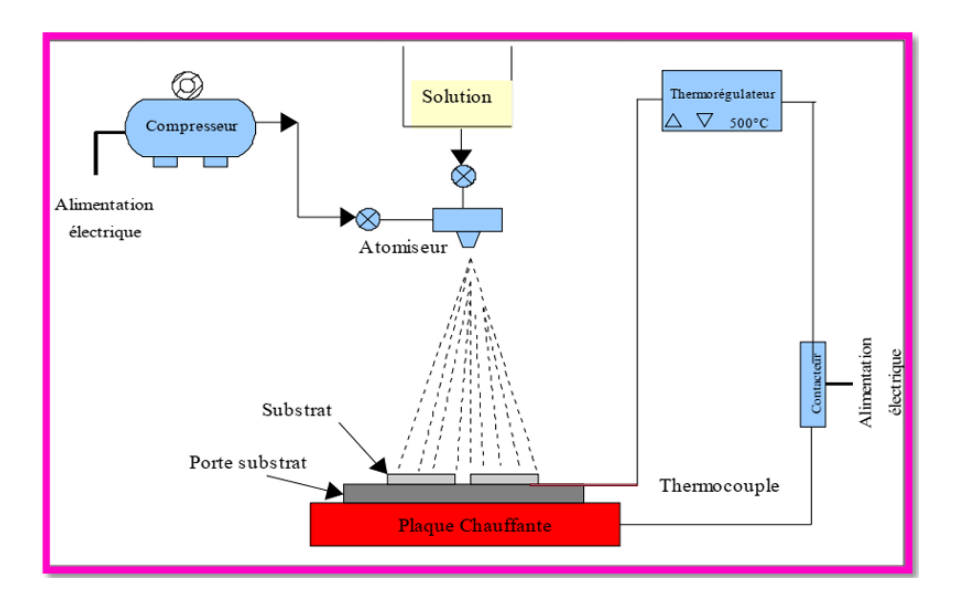
1.1.2.2.۱ مبدأ عمل تقنية رذاذ الانحلال الحراري

يقوم مبدأ هذه التقنية على تكوين قطرات من محلول يحتوي على مختلف مكونات المركب المنقول بواسطة تدفق يتم ترسيبه على ركيزة يتم تسخينها بواسطة نظام تسخين في درجات حرارة مناسبة (تنشيط التفاعل الكيميائي بين المركبات). وبالتالي يتبخر المذيب وتتفاعل العناصر الأخرى لتشكيل المركب النهائي. ومن هنا جاءت تسمية التقنية: "التحلل الحراري"، حيث تشير كلمة "pyro" إلى الحرارة، و "lysis" إلى

يمكن إجراء هذه التجربة في جو عادي أو في غرفة تفاعل تحت تفريغ من الهواء يبلغ حوالي 50 Torr [28]. بشكل عام، تنقسما لأنظمة المستخدمة لإنتاج الرذاذ الى فئتين:

- ✓ تقنية الرذاذ الهوائي: في هذه الحالة، يكون تأثير ضغط الغاز الناقل هو الذي يرش السائل في قطرات دقيقة.
- ✓ تقنية الرش بالموجات فوق الصوتية: في هذه الحالة، يتم إنتاج ذرة السائل بواسطة الموجات فوق الصوتية.

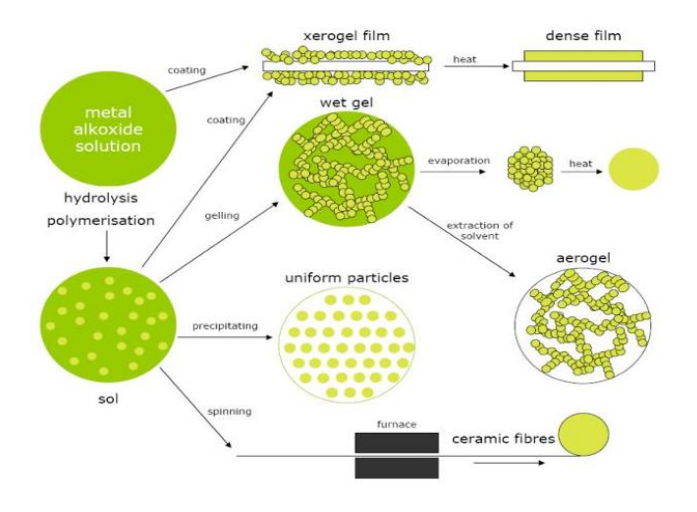
في الحالة الأولى، تخرج المواد الغير مطلوبة من الفوهة بسرعة أولية تعتمد على قيم الضغط وقطر الفوهة، ولكن العيب هو أن أحجام القطرات ليست متجانسة، ومع ذلك، في العملية الثانية، تكون سرعة إخراج الفوهة صفرًا ولكن حجم القطرات جيد جدًا ومتجانس[29].



الشكل (6.1): يوضح التركيب المستعمل طريقة الرذاذ الانحلال الحراري[30].

sol-gel): الغرواني (sol-gel):

هي عملية كيميائية تستخدم لتحضير الطبقات الرقيقة، من المحاليل السائلة (السول) عبر تكوين هلام (جيل)، وهي الأكثر استعمالا، تعتمد هذه التقنية على التحلل المائي وتكثيف المركبات الكيميائية، عند درجات حرارة منخفضة، ويمكن تعريفها من وجهة نظر تيرموديناميكية على أنها تشكيل طور صلب مستقر نسبياً عند درجة حرارة معينة، انطلاق من الطور السائل[31].

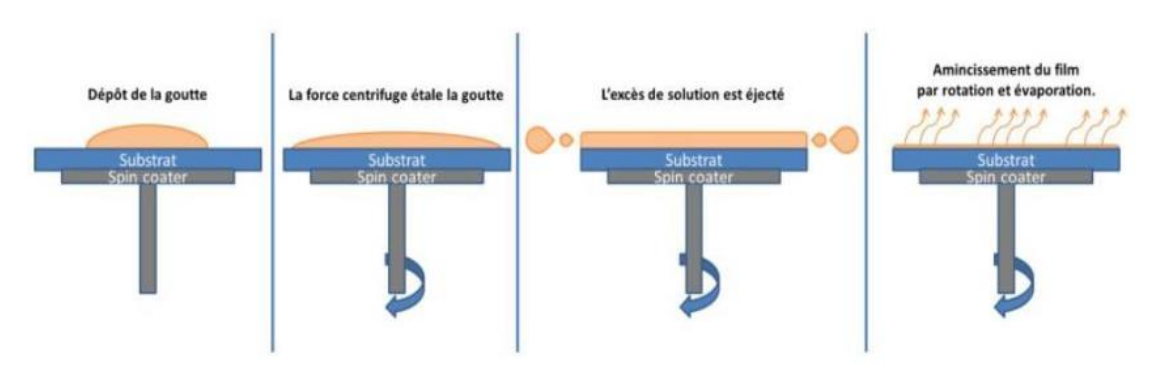


الشكل(٦-١):الرسم توضيحي لمراحل تقنية صول - جال[31].

وهناك نوعين من تقنية (sol-gel)

(Spin-Coating) بالطرد المركزي (Spin-Coating)

تتضمن صب المحلول على ركيزة دوارة، حيث يعمل دوران الركيزة بسرعة عالية على توزيع السائل بشكل متساوي على سطحها. تحت تأثير قوة الطرد المركزي، يتم نشر السائل الزائد على الركيزة مما يؤدي إلى تكوين طبقات رقيقة جدًا ومتجانسة. تتميز هذه التقنية بقدرتها على الحصول على طبقات متجانسة للغاية ذات سمك ثابت، على الرغم من أن سمك الطبقات المتكونة عادة ما يكون صغيرًا جدًا. تُستخدم هذه التقنية بشكل واسع في صناعة الطلاءات الرقيقة للأجهزة الإلكترونية، وأجهزة الطاقة الشمسية، وطبقات المواد النانوية وغيرها من التطبيقات التي تتطلب طبقات دقيقة وموحدة [32].



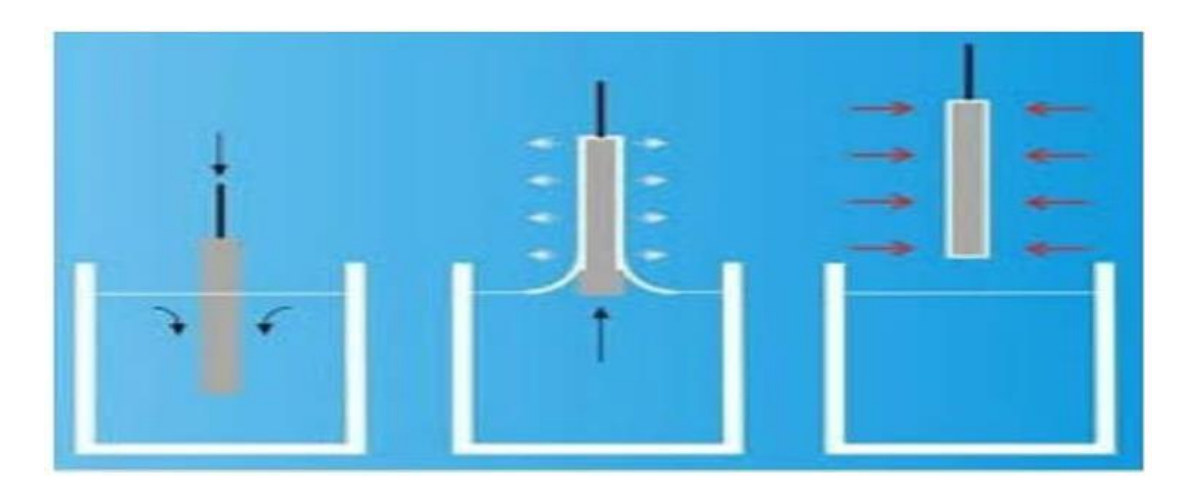
الشكل(١-8): الرسم تخطيطي لمراحل طرز المركزي[32].

(Dip-coating) بالغمس (2.2.2. الترسيب بالغمس

تعتمد هذه التقنية على مبدأ غمر الركيزة في المحلول ثم سحبها بسرعة ثابتة ودون اهتزاز تحت درجة حرارة محددة. يتم بعد ذلك تبخير المركبات المتطايرة، حيث يتم التحكم في سمك الطبقة الرقيقة بواسطة عدة عوامل: التوتر السطحي، وزاوية الغمر، سرعة السحب، لزوجة المحلول، يمكن تلخيص عملية ترسيب في خمس خطوات متتالية.

- 1. الغمر (Dipping): تم غمر الركيزة في محلول المادة المراد ترسيبها، بحيث تغمر بالكامل أو جزئيًا.
 - 2. السحب(Withdrawal) بعد الغمر، يتم سحب الركيزة من المحلول بسرعة بعد مدة معينة.

- 3. الترسيب (Deposition): مع سحب الركيزة، يحدث ترسيب المواد من المحلول على السطح بشكل متجانس. تتجمع الجزيئات على السطح وتشكل طبقة رقيقة.
 - 4. إزالة الفائض (Excess Removal): يتم إزالة المحلول الزائد الذي قد يتبقى على السطح.
- 5. التبخير (Evaporation): بعد إزالة الفائض، يتم تبخير المركبات المتطايرة من الطبقة المُترسبة تحت درجة حرارة معينة. يساعد التبخير على تجفيف المحلول وتثبيت الطبقة على الركيزة.

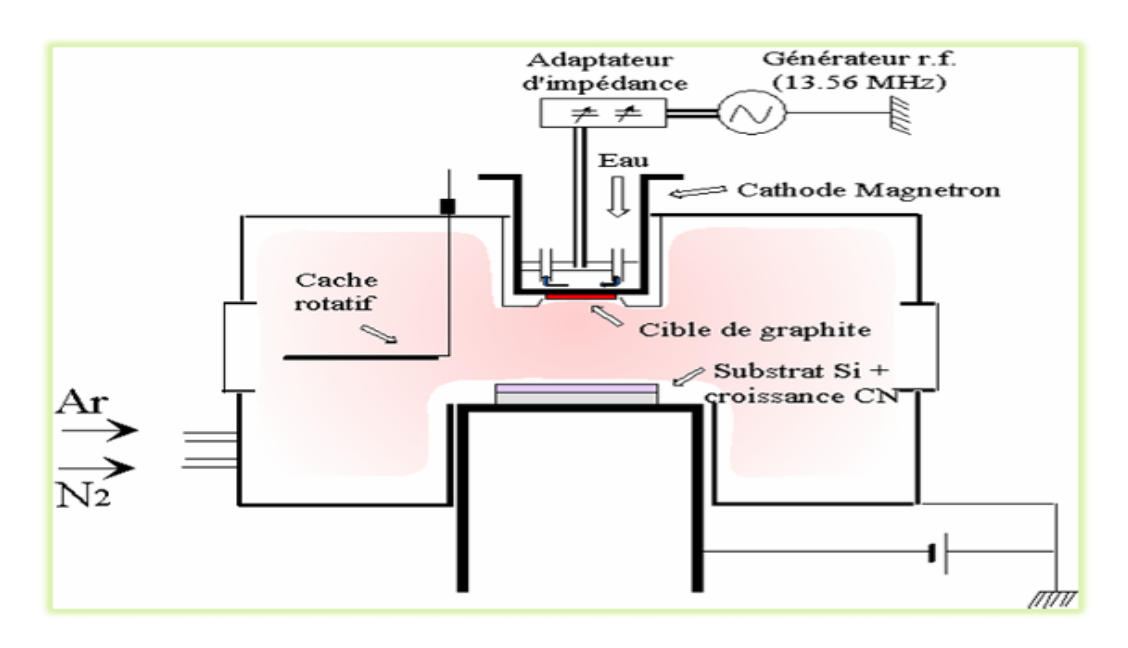


الشكل (١-9):تقنية الترسيب بالغمس[33].

IRF-magnetron تردد الراديو المعكوس 2.2.I (sputtering)

بواسطة الإلكترونات الثانوية المنبعثة من القطب السالب تحت تأثير القصف DC تُحافظ على التفريغ في الصمام الثنائي الأيوني. في هذه الحالة، الإلكترونات التي لا تصادف جزيئات الغاز تبتعد بشكل عمودي عن القطب السالب ويتم التقاطها بواسطة القطب الموجب. إذا تم تطبيق مجال مغناطيسي عمودي على المجال الكهربائي، فإن مسارات الإلكترونات تلتف حول خطوط المجال المغناطيسي، مما يزيد بشكل كبير من احتمالية تأيين جزيئات الغاز بالقرب من القطب السالب.

يتركز التغريغ المتوهج في المنطقة التي يكون فيها المجال المغناطيسي في أقوى حالاته، مما يؤدي إلى تكوّن منطقة متوهجة دائرية على شكل حلقة. بعد عدة ساعات من التشغيل، يتسبب ذلك في انحراف عميق تحت الحلقة المتوهجة. يوجد كاثود المغنطرون في شكلين رئيسيين: الشكل المسطح (مستطيل أو دائري) والشكل الأسطواني[21،34].

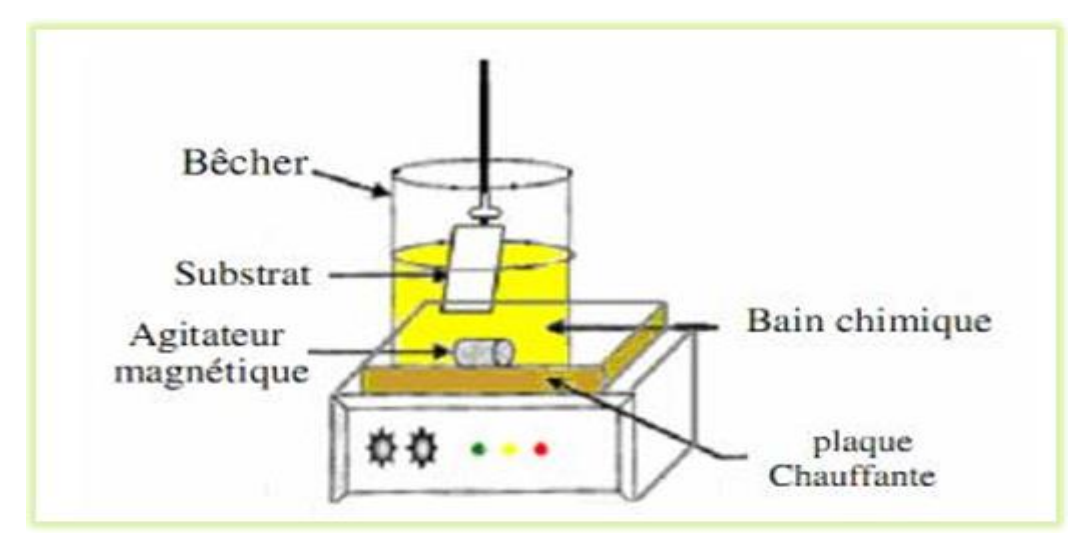


الشكل (١-10): مبدأ الرش المنغطروني [34].

4.2. 2. I ترسيب الحمام الكيميائي

الترسيب بواسطة الحمام الكيميائي (Chemical Bath Deposition)، يشير إلى ترسيب الأفلام على ركيزة صلبة من خلال تفاعل يحدث في محلول مائي. يمكن أن يحدث الترسيب بواسطة الحمام الكيميائي بطريقتين حسب آلية الترسيب: عن طريق التكوين المتجانس في المحلول أو عن طريق التكوين غير المتجانس على الركيزة. في التكوين غير المتجانس، يمكن للجسيمات، أو حتى الأيونات الفردية، أن تلتصق بالركيزة.

غالبًا ما تكون الطاقة المطلوبة لتشكيل واجهة بين الجسيمات والركيزة الصلبة أقل من تلك المطلوبة للتنوية المتجانسة. لذلك يتم تفضيل التنوية غير المتجانسة بنشاط على التنوية المتجانسة[35].



الشكل (11-1): مخطط تمثيلي لمعدات الحمام الكيميائي [35].

3. 2. I الاعمال السابقة المنجزة على C03O4 المطعم

مصفوفة الطبقة الرقيقة (وتم تأكيد النتيجة بواسطة قياساتXRD) .كما أظهرت الملاحظات باستخدام المجهر الإلكتروني الماسح(SEM)تكوّن أغشية ذات أسطح منتظمة وخالية من الشقوق.

من جهة أخرى Muhammad Aadil والمتحدد المنافية على المسامية باستخدام تقنية التفاعل المائي والتلدين. الغرض من الدراسة هو استكشاف تأثير الفضة على خاصية التحفيز الضوئي لأكسيد الكوبالت. كان مردود المحفز Ag: Co₃O₄فقط بعد وو الملوثات هو الشعاع ضوء الشمس.

الكوبالت(Co₃O₄)المطعمة بالمعادن الانتقالية(24] اهتموا بتوصييف أغشية رقيقة من أكسيد الكوبالت(Co₃O₄)المطعمة بالمعادن الانتقالية(30 باستخدام طريقة سول-جيل وتم ترسيبها باستخدام عملية والبصرية والكهربائية. تم تحضير المواد باستخدام طريقة سول-جيل وتم ترسيبها باستخدام عملية التغميس. أظهرت نتائج DRX على أن الشرائح المحضرة حافظت على هيكلها المكعب (الاسبينيل) مع تفضيل التوجه على مستوى (311)، تُظهر النتائج البصرية التي توصلنا إليها أن نفاذية جميع العينات المطعمة تنخفض مقارنة بعينات 4030 غير المخدرة ويؤدي التطعيم إلى تقليل طاقات فجوة النطاق الخاصة بها.

Lavanya النيكل. تم ملاحظة الحبوب الصحيحة. ثم الانبعاث الضوئي (P.L.) أدوة الانبعاث الماسح (10 الماسحة الماسحة الانبعاث الماسحة الانبعاث الماسحة الانبعاث الماسحة الانبعاث المحبوب المح

الخصائص البصرية امتصاصًا أعلى للضوء في منطقة الأشعة فوق البنفسجية (UV).كانت جميع الأغشية الرقيقة من Co₃O₄: الرقيقة من Co₃O₄ النيكل حساسة للضوء فوق البنفسجي كما أظهرت نفس العينة :Co₃O₄ الرقيقة من Ni (8%) أوقات صعود/هبوط سريعة بلغت A.6/4.8ثانية. تقدم هذه الدراسة التجريبية منصات ممتازة لتطوير مستشعرات ضوئية فوق بنفسجية عالية الأداء، منخفضة التكلفة وفعّالة.

HaffasSabah وآخرون [38]، تضمنت دراستهم تحسين الخواص التحفيزية الضوئية لأغشية أكسيد الكوبالت الرقيقة المُشَوبة بالنحاس، بتركيزات تتراوح بين 2%و10%. حيث حضرت الأفلام بطريقة الانحلال الحراري بالرش عند درجة حرارة 400 درجة مئوية. اظهر تحليل حيود الأشعة السينية أن إضافة النحاس (Cu) إلى 100 ادى الى زيادة في حجم البلورات وأدى إلى تقليل فجوة النطاق. قُيِّمَ التحفيز الضوئي من خلال تحلل الميثيلين الأزرق. تُظهر النتائج أن التشويب بالنحاس يؤثر بشكل كبير على النشاط التحفيزي الضوئي، حيث بلغ التشويب الأمثل 8%، حيث تم تحقيق تحلل الميثيلين الأزرق بنسبة 85%.

في أعمال Faiçal Ali وآخرون [39]، تم تحضير أكسيد الكوبالت المطعم بنسب ذرية مختلفة من الكروم، تتراوح بين Faiçal Ali باستخدام طريقة هيدروحرارية بسيطة. تمت دراسة الخصائص الفيزيائية والكهروكيميائية. أظهر الفيلم المطعّم بنسبة 6 شدرة أداء، حيث ان سعة نوعية بلغت 1283 فارد لكل غرام عند سرعة مسح 5 % www. أي بزيادة قدرها 67%مقارنة بأكسيد الكوبالت النقي الذي كانت سعته النوعية 65.86% فارد لكل غرام. كما حافظ على 72.86% من سعته النوعية بعد 1000 دورة شحن وتفريغ مستمرة، مما يجعله مادة واعدة لتطبيقات المكثفات الفائقة.

قام Keerthana وآخرون [40] بدراسة تأثير إضافة القصدير Snعلى جسيمات Co₃O₄ النانوية المُصنّعة بطريقة الترسيب المشترك لتحسين الأداء التحفيز الضوئي في تحليل صبغة الميثيلين الازرق. حيث كشفت

الدراسة أن Co₃O₄ المُطعم بـ 1مولارية من القصدير أظهر كفاءة تحلل مُحسَّنة، حيث وصل إلى 75%في الضوء المرئي.

Co_3O_4 تطبیقات أکسید الکوبالت .4. 2.I

يعد أكسيد الكوبالت (Co₃O₄) أحد أكاسيد المعادن الانتقالية، وهو شبه موصل مغناطيسي من النوعP، قد نال اهتمامًا كبيرًا في السنوات الأخيرة نظرًا لإمكانياته التطبيقية في العديد من المجالات التكنولوجية مثلا الممتصات انتقائية (Selective Absorbers) للطاقة الشمسية في درجة حرارة عالية[41]، وتخزين الطاقة[42]، والمكثف الفائق[43]، وتحويل المواد الأولية إلى مواد كيميائية قيّمة وأجهزة استشعار ومشغلات[1]، ومادة الأنود في البطاريات الليثيوم القابلة لإعادة الشحن[45]، و النوافذ البصرية الذكية، وأجهزة العرض، و الأصباغ للزجاج والسيراميك، ومواد مغناطيسية المحفزات[46]، و يستخدم أكسيد الكوبالت كطلاء واقي لمختلف المواد، مثل المثبتات والبلاستيك والسيراميك[47].

المراجع:

- [1] Sahoo S, Wickramathilaka KY, Njeri E, Silva D, Suib SL. A review on transition metal oxides in catalysis. Frontiers in chemistry vol. 12 1374878. 17 May. 2024.
- [2] Ram B. Synthesis and advanced applications of transition metal oxides. Int J Multidiscip Res. 2024; 6(5).
- [3] Gupta S, Shrikant B. Chapter 5: Transition metal oxide semiconductor materials: properties and applications. Microfabrication and Nanofabrication: Precision Manufacturing, Berlin, Boston: De Gruyter, 2024, pp. 101-132.
- [4] Madaka R, Kumar D, Pandey B, Bandaru N, Dasari JR, Zuala L, et al. Two-dimensional transition metal oxides (TMOs) for solar cell applications. In: Springer Nature; 2024. p. 53–86.
- [5] Meher S. Transition metal oxide-based materials for visible-light photocatalysis. In: Elsevier; 2022. p. 153–183.
- [6] Kouidri N, Rahmane S, Allag A. Substrate temperature-dependent properties of sprayed cobalt oxide thin films. J Mater Sci Mater Electron. 2019; 30: 1153–1160.
- [7] Bencharef Z, Chala A, Messemeche R, Benkhetta Y. The physical properties of spinel cubic Co₃O₄ thin films prepared by a PSM. Main Group Chem. 2022; 21: 1–12.
- [8] Mei J, Liao T, Ayoko GA, Bell J, Sun Z. Cobalt oxide-based nanoarchitectures for electrochemical energy applications. Prog Mater Sci. 2019.
- [9]American Elements. Cobalt (II, III) oxide. Available from: https://www.americanelements.com/cobalt-ii-iii-oxide-1308-06-1
- [10] Seidov Z, Açıkgöz M, Kazan S, Mikailzade F. Magnetic properties of Co₃O₄ polycrystal powder. Ceram Int. 2016; 42(11): 12928–12931.
- [11] Salek G. Élaboration et caractérisation de films minces absorbants de lumière à partir de dispersions colloïdales de nanoparticules d'oxydes Mn_{3−x}Co_xO₄ (0≤x≤3) et Cu₂O [Doctoral thesis]. Toulouse: Université Toulouse III Paul Sabatier; 2013.
- [12] Chen J, Wu X, Selloni A. Electronic structure and bonding properties of cobalt oxide in the spinel structure. PhysRev B. 2011 Jun 20; 83(24): 245204.
- [13] Roufeida A. Influence de la molarité des précurseurs sur les propriétés des couches minces de Co₃O₄ élaborées par spray pneumatique [Mémoire de Mastre]. Biskra: Université Mohamed Khider Biskra; 2023.

المراجع

- [14] Abdelhak L. Synthèse et caractérisation des TCO par voie sol-gel et leurs applications dans le domaine optoélectronique [Mémoire de Mastre]. Tiaret : Université Ibn Khaldoun-Tiaret; 2019.
- [15] Kouidri N. Contribution à l'étude de couches minces d'oxydes transparents conducteurs à base de zinc et cobalt par spray pneumatique [Thése de Doctorat]. Biskra: Université Mohamed Khider Biskra; 2019.
- [16] Roth WL. The magnetic structure of Co₃O₄. J PhysChemSolids. 1964; 25(1): 1–10.
- [17] Souici H. L'influence du temps de dépôts sur les propriétés des couches minces de Co₃O₄ élaborée par spray pneumatique [Mémoire de Mastre]. Biskra : Université Mohamed Khider Biskra ; 2018.
- [18] Haffas S, Berak M. Caractérisation des couches minces Co₃O₄: Cu élaborée par la technique spray pneumatique [Mémoire de Mastre]. Biskra: Université Mohamed Khider Biskra; 2020.
- [19] Kouidri N, Rahmane S. Effect of cobalt chloride concentration on structural, optical and electrical properties of Co₃O₄ thin films deposited by pneumatic spray. J New Technol Mater. 2020; 10(1): 56–62.
- [20] Hassan AI, Maki SI. Structural and optical properties of copper-doped cobalt oxide thin films prepared by spray pyrolysis. Int J EngSci Res Technol. 2017 Mar; 6(3): 527–535.
- [21] Lohaus C, Morasch J, Brötz J, Klein A, Jaegermann W. Investigations on RF-magnetron sputtered Co₃O₄ thin films regarding the solar energy conversion properties. J Phys D Appl Phys. 2016; 49(15): 155306.
- [22] Švegl F, Orel B, Grabec-Švegl I, Kaučič V. Characterization of spinel Co₃O₄ and Li-doped Co₃O₄ thin film electrocatalysts prepared by the sol–gel route. ElectrochimActa. 2000; 45(25-26): 4359–4371.
- [23] Dalache C, Benhebal H, Benrabah B, Ammari A, Kharroubi A, Lakhal A. Cadmium-doped Co₃O₄ thin films: synthesis and characterization. Surf Rev Lett. 2019; 26(01): 1850134.
- [24] Lakehal A, Benrabah B, Bouaza A, Dalache C, Benhebal H. Tuning of the physical properties by various transition metal doping in Co₃O₄: TM (TM = Ni, Mn, Cu) thin films: A comparative study. Chin J Phys. 2018; 56(5): 1845–1852.
- [25] Venkatesh R, Dhas CR, Sivakumar R, Dhandayuthapani T, Subramanian B, Sanjeeviraja C, Raj AME. Tailoring the physical properties and electrochromic performance of nebulizer spray coated Co₃O₄ films through copper doping. Solid State Ionics. 2019; 334: 5–13.

- [26] Kung CW, Lin CY, Li TJ, Vittal R, Ho KC. Synthesis of Co₃O₄ thin films by chemical bath deposition in the presence of different anions and application to H₂O₂ sensing. Procedia Eng. 2011; 25: 847–850.
- [27] Mooney JB, Radding SB. Spray pyrolysis processing. AnnuRev Mater Sci. 1982; 12: 81–101.
- [28] Boulmelh S. Élaboration et caractérisation d'un dépôt de couches minces d'oxyde de zinc par spray pyrolyse [Mémoire de Mastre]. Constantine: Université Frères Mentouri 1; 2015.
- [29] Tabet AL. Optimisation des conditions d'élaboration (température de substrat et distance bec-substrat) des films minces de ZnO par spray [Mémoire de Mastre]. Biskra: Université Mohamed Khider; 2013.

- [31] Daoudi K. Élaboration et caractérisation de films minces d'oxyde d'indium dopé à l'étain obtenus par voie sol-gel: potentialité pour la réalisation d'électrodes sur silicium poreux [Mémoire de Mastre]. Lyon (France): Université Claude Bernard Lyon 1; 2003.
- [32] Smith R, Inomata H, Peters C. Chapter 4 Historical Background and Applications. In: Supercritical Fluid Science and Technology. Elsevier; 2013. p. 175-273.
- [33] Collinson MM, Wang H, Makote R, Khramov A. The effects of drying time and relative humidity on the stability of sol–gel derived silicate films in solution. J ElectroanalChem. 2002; 519 (1-2): 65-71.
- [34] Kamli K. Elaboration et caractérisations physicochimiques des couches minces de sulfure d'étain par spray ultrasonique: Effet des sources d'étain [Thése de Doctorat]. Biskra Université Mohamed Khider; 2013.
- [35] Meddah F, Hachemi H. L'influence du taux du nickel sur les propriétés des couches minces de Co₃O₄ élaborées par spray pneumatique [Mémoire de Mastre]. Biskra, Algérie : Université Mohamed Khider ; 2021.
- [36] Aadil M, Zulfiqar S, Warsi MF, Agboola PO, Shakir I, Shahid M, Al-Khalli NF. Mesoporous and macroporous Ag-doped Co₃O₄ nanosheets and their superior photo-catalytic properties under solar light irradiation. Ceram Int. 2021; 47(7): 9806-9817.
- [37] Lavanya S, Kumar TR, Raj ILP, Vinoth S, Isaac RR, Ganesh V, AlAbdulaal TH. Enhanced structural, optical, and photo sensing properties of Ni-doped Co₃O₄ thin films prepared by nebulizer spray pyrolysis method. Physica B: Condens Matter. 2023; 649: 414492.

المراجع

- [38] Haffas S, Belhamra N, Bencharef Z, Redjouh N, Gasmi B, Rahmane S. Impact of copper-doped cobalt oxide thin films on the photocatalytic degradation of methylene blue dye under sunlight irradiation. React KinetMechCatal. 2025; 1–18.
- [39] Ali F, Khalid NR. Facile synthesis and properties of chromium-doped cobalt oxide (Crdoped Co₃O₄) nanostructures for supercapacitor applications. ApplNanosci. 2020; 10: 1481–1488.
- [40] Keerthana SP, Yuvakkumar R, Kumar PS, Ravi G, Vo DVN, Velauthapillai D. Influence of tin (Sn) doping on Co₃O₄ for enhanced photocatalytic dye degradation. Chemosphere.2021; 277: 130325.
- [41] Oboudi S. International Journal of Innovative Research in Science, Engineering and Technology. 2014; 3(1): 8573-8581.
- [42] Hutchins MG, Wright PJ, Grebenik PD. Comparison of different forms of black cobalt selective solar absorber surfaces. Solar Energy Materials. 1987; 16(1-3): 113-131.
- [43] Shi Y, Pan X, Li B, Zhao M, Pang H. Co₃O₄ and its composites for high-performance Liion batteries. ChemEng J. 2018; 343: 427-446.
- [44] Meher SK, Rao GR. UltralayeredCo₃O₄ for high-performance supercapacitorpplications. J PhysChem C. 2011; 115(31): 15646-15654.
- [45] Che H, Liu A, Hou J, Mu J, Bai Y, Zhao S, Zhang X, He H. J Mater Sci: Mater Electron. 2014; 25: 3209–3218.
- [46] Shelke PN, Khollam YB, Patil KR, Gunjal SD, Jadkar SR, Takwale MG, Mohite KC. Studies on electrochemical deposition and characterization of Co₃O₄ films. J Nano-Electron Phys. 2011; 3(1): 486–496.
- [47] Moon J, Kim TK, VanSaders B, Choi C, Liu Z, Jin S, Chen RK. Black oxide nanoparticles as durable solar absorbing material for high-temperature concentrating solar power system. Sol Energy Mater Sol Cells. 2015; 134: 417–424.

الفصل الثاني: طريقة الترسيب وتقنيات التوصيف للأغشية الرقيقة Cu_x – $Bi_{1-x}Co_3O_4$

الفصل الثاني طريقة الترسيب وتقنيات التوصيف للأغشية الرقيقة Cux-Bi_{1-x}Co₃O₄

1.11 المقدمة

لتحضير الشرائح الرقيقة لأكسيد الكوبالت 4000 المطعم بالنحاس والبسميث، تم اختيارنا لتقنية الانحلال الحراري بالرش (spray pyrolyse) لسهولتها وتوفرها وجودتها العالية..... إلخ، سيتم شرحها في هذا الفصل بالإضافة إلى عرض تفصيلي لخواص المواد الكيميائية المستعملة لتحضير الشرائح وفي الأخير سنقوم بتقديم تقنيات التوصيف المستعملة لدراسة الخصائص البلورية، البصرية والكهربائية.

(spray pyrolyse) بالرش. (spray pyrolyse). تقنية الانحلال الحراري بالرش

الانحلال الحراري بالرش هو الاسم الأكثر شيوعًا الذي يُطلق على هذه التقنية ويتكون من: الرش والانحلال الحراري. "Spray "هي كلمة إنجليزية تشير إلى الرذاذ وتدفق السائل (عطر، مزيل عرق، مبيد حشري،إلخ)وذلك عبر قطرات ناعمة عن طريق الرش، الرذاذ هو تقنية ترسيب تستخدم في تحضير أغشية رقيقة وسميكة. "Pyrolyse" الانحلال الحراري تشير إلى تسخين الركيزة، حيث توفر درجة حرارة الركيزة الطاقة لتنشيط التفاعل الكيميائي بين المركبات.

عملية «الانحلال الحراري بالرش» هي طريقة مناسبة تمامًا لتحضير الأغشية الرقيقة، من بضع عشرات من النانومترات إلى عدة مئات من النانومترات. لها العديد من المزايا:

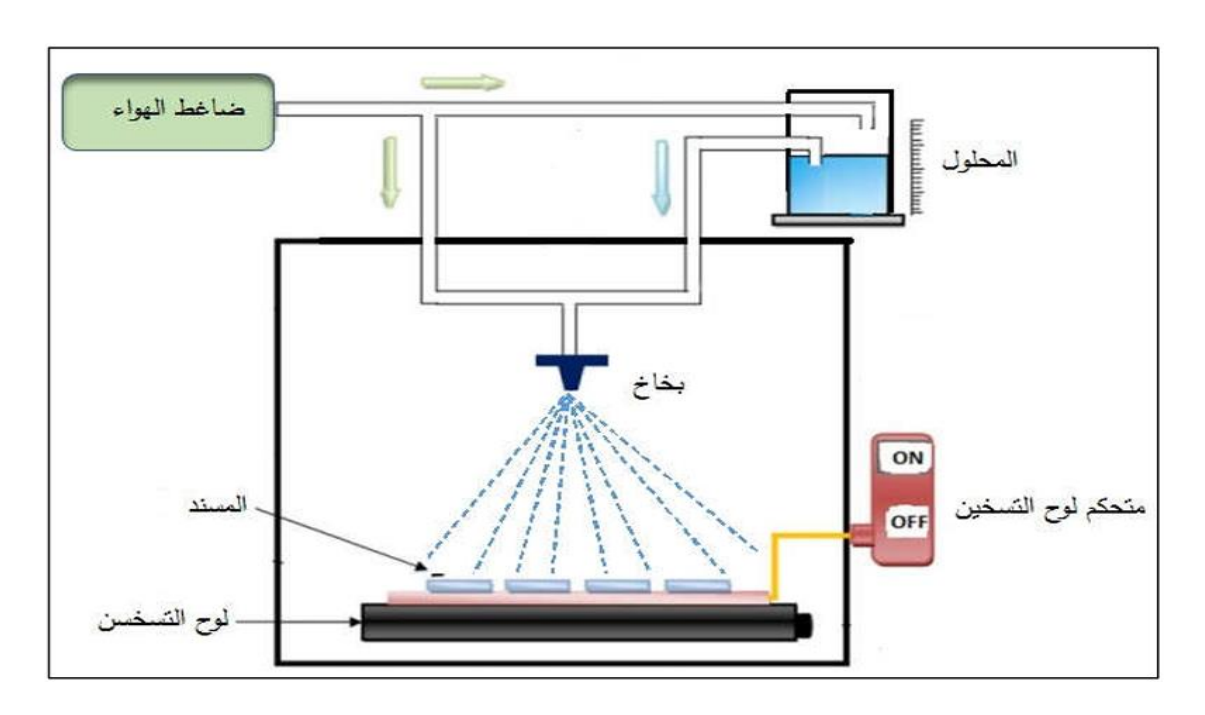
- √ سريعة وسهلة الاستخدام.
- ✓ يسمح لنا بالتحكم في التركيب الكيميائي للمادة التي نريد الحصول عليها.
- ✓ يمكن استخدام العديد من المنتجات في نفس الوقت، خاصةً في التطعيم.
 - √ تتميز الأغشية الرقيقة المحضرة باستخدام هذه التقنية بجودة عالية.
 - ✓ هذه تقنية غير مكلفة واقتصادية للغاية. وبمكن أن تكون صناعية.

$Cu_{x}-Bi_{1-x}Co_{3}O_{4}$ الفصل الثانى طريقة الترسيب وتقنيات التوصيف للأغشية الرقيقة

✓ يمكن استخدام هذه الطريقة لترسيب الطلاءات على الأسطح الكبيرة، مثل الخلايا الشمسية أو
 الشاشات المسطحة[1].

1.2.II مبدأ عمل تقنية الانحلال الحراري بالرش

تستعمل هذه التقنية لتشكيل أغشية رقيقة عالية الجودة، يتم ترسيب الشرائح من خلال رش محلول الحاوي على عناصر المادة المختلفة المراد ترسيبها على شكل رذاذ على سطح المسند الساخن، وذلك عند درجة حرارة كافية ليحدث انحلال حراري للعناصر ليشكل مركب كيميائي ويتم تحديد المواد الكيميائية المتفاعلة (مواد متطايرة) عند هذه درجة الحرارة لتخلص منها ليبقى المركب لوحده ليتم على المسند [2].



الشكل (1.II): رسم تخطيطي يوضح تقنية الانحلال الحراري بالرش [3].

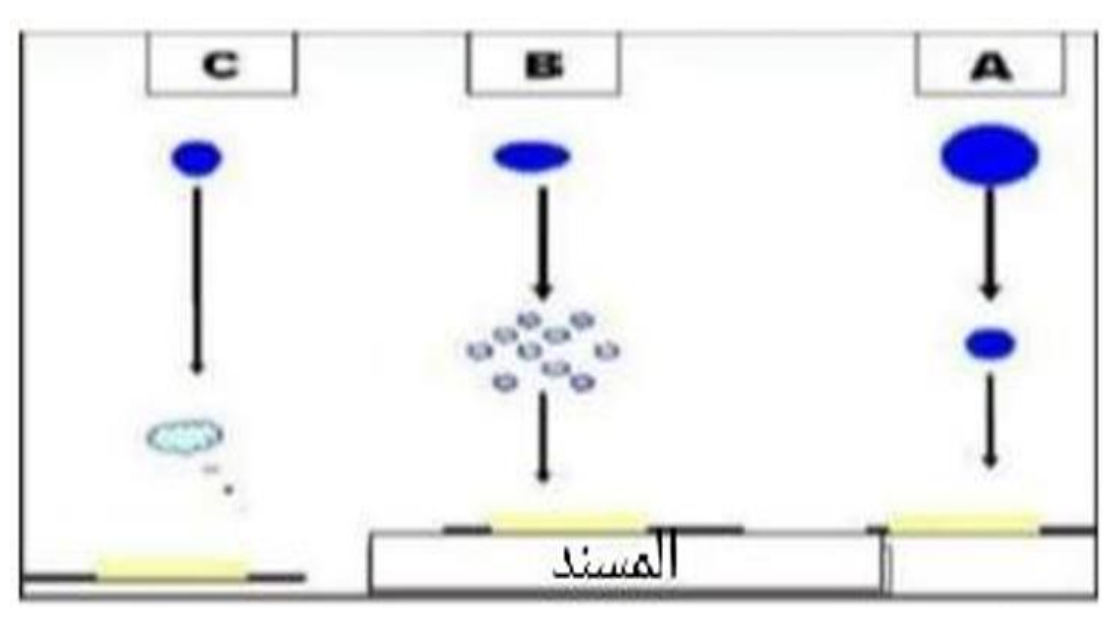
يمكن تلخيص وصف توليف الطبقات الرقيقة باستخدام طريقة الانحلال الحراري بالرش على النحو التالي:

الفصل الثاني طريقة الترسيب وتقنيات التوصيف للأغشية الرقيقة Cux-Bi_{1-x}Co₃O₄

A.قطرات كبيرة: عندما يكون حجم القطرة كبيرًا نسبيًا، فإن الحرارة الممتصة لا تكون كافية لتبخير المحلول بشكل كامل. وعند اصطدام القطرة بالسطح القاعدي، تتكوّن طبقات غير متجانسة، مما يؤثر سلبًا على الخواص الفيزيائية للطبقة المتكوّنة.

B.قطرات متوسطة: هذه الحالة مثالية للترسيب إذ يتبخر المذيب قبل أن يصل إلى المسند وبالتالي وصوله للمسند الساخن في شكل بخار فيحدث التفاعل لتشكل شرائح.

C. قطرات صغيرة: إذا كان حجم القطرة صغير جدا فتجف بالكامل قبل وصولها إلى المسند [4].



الشكل(2.II): حالات الترسيب المختلفة اعتمادا على حجم القطرة[4].

3.II. المواد الكيميائية المستعملة

• كمادة أولية لتحضير الشرائح الرقيقة **لأكسيد الكوبالت**، استعملنا كلوريد الكوبالت الثنائي سداسي الماء (المميه)(CoCl₂·6H₂O) وهو المركب الكيميائي للصيغة CoCl₂، على الرغم من أنه يسمى أيضًا سداسي هيدرات،CoCl₂ أزرق بينما لون كلور كوبالت (CoCl₂-6H₂O)وردي غامق، نظرًا لهذا التغيير الواضح في اللون وسهولة التجفيف والترطيب، يتم استخدام كلوريد الكوبالت كمؤشر على الوجود الماء.

للتطعيم استخدمنا كلوريد النحاس وكلوريد البزموث:

- كلوريد النحاس الثنائي (CuCl₂) هو مركب ذرة النحاس في حالة الأكسدة +2 وذرتين الكلور، ويتميز بلونه الأخضر المزرق. يتميز بقدرته العالية على الذوبان في الماء وفي بعض المذيبات العضوية مثل الكحول. يستخدم كلوريد النحاس الثنائي في صناعة الأصباغ، والتحفيز الكيميائي، وتحضير مركبات النحاس الأخرى، وكذلك في العمليات المختبرية ككاشف كيميائي.
- كلوريد البزموث الثلاثي هBiClه و مركب كيميائي يتكون من ذرة البسميث وثلاث ذرات من الكلور. يتميز بلونه الأبيض أو الأصفر الفاتح، وهو قابل للذوبان في الأحماض المخففة وبعض المذيبات العضوية مثل الكلوروفورم، وتفاعله مع الماء ينتج أكسيد الهيدروكلوريد BiOCl وحمض الهيدروكلوريك. يستخدم هBiCl في الكيمياء العضوية كمحفز للتفاعلات، وفي تحضير مستحضرات الطبية.
- ❖ الخصائص الفيزيائية
 الجداول التالية تلخص اهم الخصائص الفيزيائية للمواد المذكورة أعلاه في تحضير شرائح أكسيد
 الكوبالت النقية والمطعمة:

الجدول(I-I): الخصائص الفيزيائية للمادة أولية كلوريد الكوبالت المميه.

الاسم النظامي (المنهجي)	سداسي هيدرات كلوريد الكوبالت
صيغة الجزيئية	CoCl ₂ .6H ₂ O
كتلة المولية	g/mol 237.93
مظهر	بلورات وردية
كثافة	g/cm ³ 1.92
طة الانصهار	86 C°

الجدول(I-1): الخصائص الفيزيائية لكلوريد النحاس الثنائي.

المطعم الأول هو النحاسِCu	الاسمالنظامي: كلوريد
	النحاسالثنائي.
الصيغة الجزئية	CuCl ₂
الكتلة المولية	134.45g/mol
المظهر	بلورات زرقاء مخضرة
(لكثافة	3.386g/cm ³
نقطة الانصهار	498 C°

الجدول(II-3) الخصائص الفيزيائية لكلوريد البسميث الثلاثي.

المطعم الثاني هو البسميثBi	الإسم النظامي: كلوريد بزموت ثلاثي
صيغة الجزئية	BiCl ₃
كتلة المولية	315.33g/mol
مظهر	بلورات بيضاء
كثافة	4.75 g/cm ³
طة الانصهار	233 C°

4.II. تحضير الشرائح الرقيقة

1.4.II. اختيار الركائز

يعد اختيار نوع الركائز المستعملة في عملية الترسيب عاملا مهما للحصول على أغشية وأفلام رقيقة جيدة ذات خصائص فيزبائية ممتازة والتصاق جيد مع السطح.

المساند المستخدمة هي شرائح زجاجية ذات مساحة سطح مربعة 2.5× 1.5 سم2. يرتبط اختيار الركيزة بطبيعة التطبيق المطلوب؛ تعتمد خصائص الأفلام بشكل كبير على حالة طبيعة الركيزة وإعداد سطحها. في الواقع، تتأثر عملية الترسيب بشكل مباشر بالخشونة والخصائص الكيميائية وطاقة السطح. ويأتي

الفصل الثاني طريقة الترسيب وتقنيات التوصيف للأغشية الرقيقة Cux-Bi_{1-x}Co₃O₄

اختيار الزجاج لأسباب اقتصادية، وكذلك شفافيته التي تتكيف بشكل جيد مع التوصيف البصري للأفلام في المجال المرئي، كما أنها تتكيف بشكل جيد مع القياسات الكهربائية [5]



الشكل(3.II): صورة الركائز المستعملة.

2.4.II تنظيف الركائز

تعد عملية تنظيف الركائز الزجاجية عملية مهمة في ترسيب أغشية ذات جودة وسمك والتصاق جيدين حيث تتم إزالة الشوائب والخدوش والغبار بإتباع خطوات سهلة وبسيطة تتمثل في:

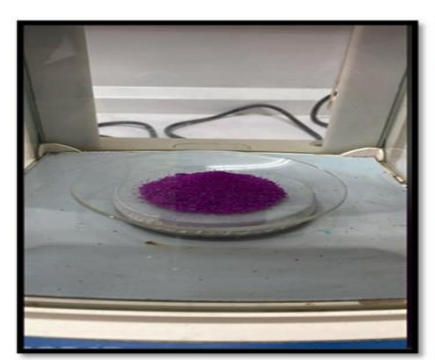
- 1. يتم تقطيع الركائز باستخدام قاطع زجاج.
- 2. تنظيف القواعد الزجاجية بواسطة الصابون والماء جيدا لإزالة الشوائب المتراكمة على السطح.
 - 3. نعيد شطفها بالماء المقطر جيدا.
- 4. توضع الركائز الزجاجية في محلول الإيثانول لمدة 5min لإزالة العوالق المتراكمة على السطح.
 - 5. نعيد غسلها بالماء المقطر.
 - 6. تغمر القاعد الزجاجية في محلول الأسيتون (CH3COCH3) لمدة 10min أو أكثر.
 - 7. ثم شطفها بالماء المقطر.
 - 8. تجفيف الركائز بمجفف الكهربائي مع تجنب اللمس المباشر لعدم تلوثها.

3.4.II. طربقة تحضير المحاليل

أولا: نقوم بغسل أدوات القياس جيدًا باستخدام الماء والصابون، ثم شطفها بالماء المقطر لضمان إزالة أي شوائب أو بقايا، وبعد ذلك تُجفف بعناية تامة، كما هو موضح في الشكل(4.II).

$Cu_x-Bi_{1-x}Co_3O_4$ الفصل الثانى طريقة الترسيب وتقنيات التوصيف للأغشية الرقيقة

ثانيا: نقوم بوزن (4.7586g) من كلوريد كوبالت.





الشكل(4.II): خطوات تحضير.

ثالثا: نذيب كتلة mمن كلوريد الكوبالت الموافقة للتركيز المولي (0,2mol/l)في(50ml) من الماء المقطر، حيث أن الكتلة m تحسب انطلاق من العلاقة:

$$m = C.M.V....$$
 (II-1)

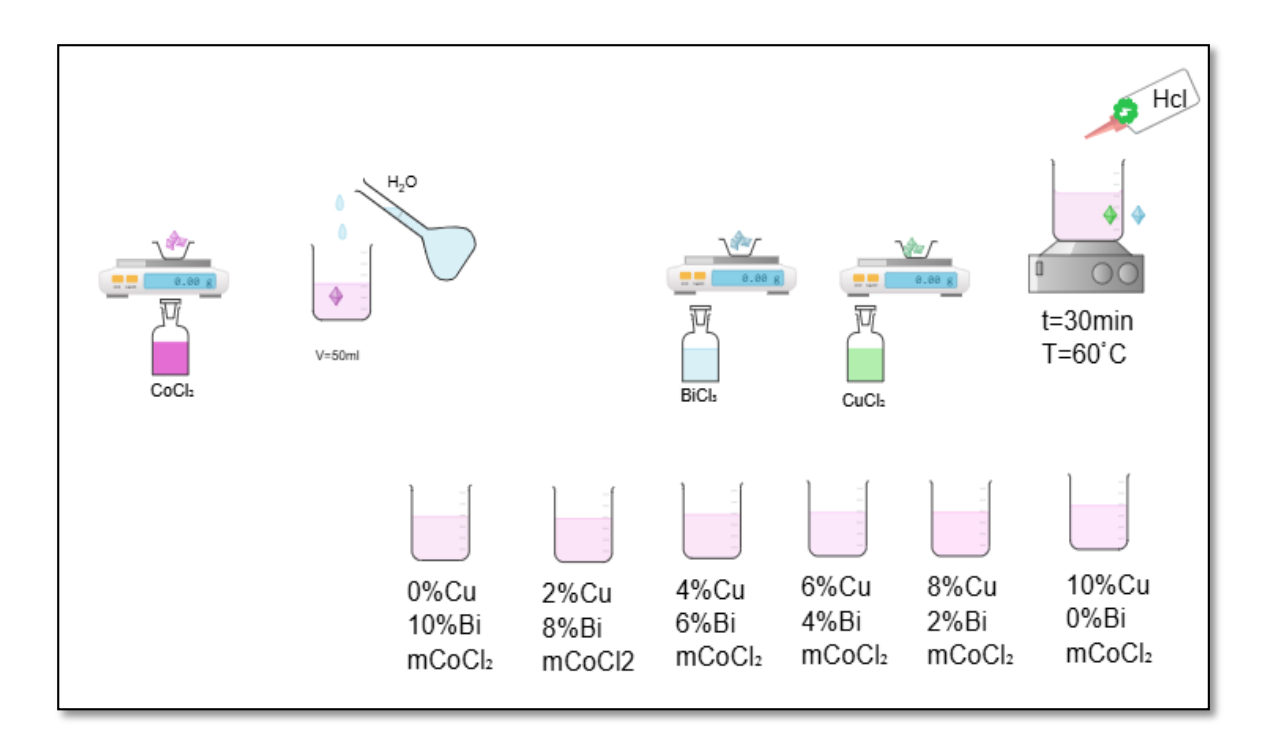
c: التركيز المولى c

M: الكتلة المولية g/mol.

V: الحجم المولي ml.

m: الكتلة g.

رابعا: نزن في كل مرة أوزان مختلفة من كلوريد النحاس وكلوريد بزموت لنتحصل على نسب كتلية التالية: -0%Cu) (2%Bi-8%Cu) (6%Bi -4%Cu) (4%Bi -6%Cu)، (2%Bi-8%Cu) (0%Bi-10%Cu) (10%Bi -10%Cu) نقوم بوضع الخليط في الخلاط المغناطيسي لمدة (30min) ودرجة حرارة (T=60°C) مع إضافة وقطرات من (HCl)، لنتحصل على محلول متجانس.



الشكل(II-5): طريقة تحضير المحاليل.

4.4.II. طريقة الترسيب

بعد إعداد الركيزة الزجاجية وتهيئة المحاليل نبدأ بعملية ترسيب الأغشية الرقيقة بجهاز الانحلال الحراري حيث توضع الركائز فوق حامل الركيزة وتسخن تدريجيا الى درجة الحرارة المطلوبة °C مباشرة يبدأ المرذاذ بعملية رش القطيرات على الركيزة الساخنة لمدة 5 دقائق تقريبا، بحيث يتم تنشيط التفاعل الكيميائي بين المركبات ويتبخر المذيب بسبب تفاعل الماص للحرارة للمركبين المكونين للطبقة الرقيقة، في نهاية الترسيب يتم إيقاف التسخين وتترك الركائز الزجاجية فوق الحامل للركائز الى أن تصل لدرجة حرارة الغرفة ، وذلك لتجنب الصدمات الحرارية التي تؤدي إلى انكسار الركائز الزجاجية .

1.4.4.II. طريقة حساب نسب التطعيم

$$m_{Cu}(wt.\%) = \frac{m_{CoCl_2,6H_2O}}{100} \times \frac{M_{Co}}{M_{CoCl_2,6H_2O}} \times \frac{M_{CuCl_2}}{MCu}.....(II-2)$$

$$m_{Bi}(wt.\%) = \frac{m_{CoCl_2,6H_2O}}{100} \times \frac{M_{Co}}{M_{CoCl_2,6H_2O}} \times \frac{M_{BiCl_3}}{M_{Bi}}.....(II-3)$$

الفصل الثاني طريقة الترسيب وتقنيات التوصيف للأغشية الرقيقة Cux-Bi_{1-x}Co₃O₄

m_{CoCl2,6H2O}: كتلة كلوريد الكوبالت الثنائي سداسي الماء المستعملة.

. Coالكتلة المولية للكوبالت: M_{co}

كتلة المولية لكلوريد الكوبالت الثنائي سداسي الماء. $M_{cocl_2,6H_2O}$

:M_{CuCl} كتلة المولية لكلوريد النحاس.

M_{Cu} : كتلة المولية لكلوريد النحاس.

: M_{BiCl₃} كتلة المولية لكلوريد البيسميث.

كتلة المولية لكلوريد البيسميث. M_{Bi}

2.4.4.II شروط التجريبية لتوليف الشرائح الرقيقة

بعد تحضير المحاليل المطلوبة، يجب ضبط الشروط التجريبية لضمان الحصول على نتائج جيدة:

- تثبيت درجة الحرارة عندC° 400.
- حجم المحلول الابتدائي المستعمل (V=50ml=0.05 I).
 - التركيز (C=0.2 mol/l) •
- المسافة بين الركيزة الزجاجية والمرذاذ تقدر ب (10cm) تقريبا.
 - زمن الترسيب (5min).

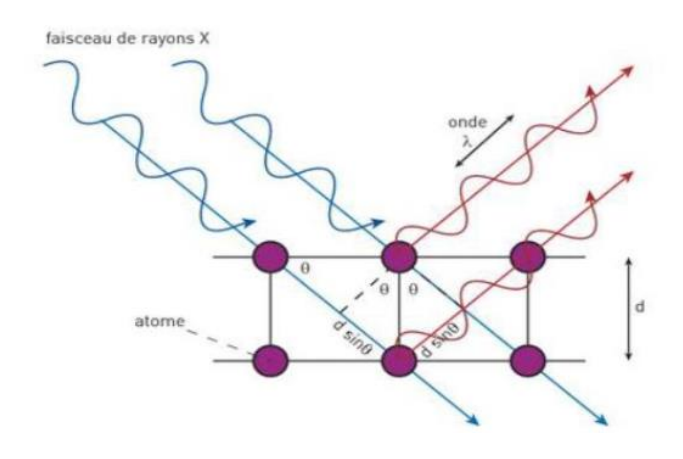
5.II. تقنيات توصيف الأغشية الرقيقة

(XRD) حيود الأشعة السينية. 1.5.II

حيود الأشعة السينية هو طريقة غير تدميرية تُستخدم لتحديد طبيعة وبنية المواد المتبلورة. لا يمكن تطبيق هذه الطريقة إلا على المواد ذات الحالة البلورية، أي الترتيب الدوري المنظم للذرات بشكل منظم ودوري للذرات المكونة لها. تُستخدم الأشعة السينية، بأطوال موجية أقل من 1 نانومتر، لرصد ظواهر الحيود في البلورات. وتتضمن هذه الطريقة قصف العينة بالأشعة السينية ومراقبة شدة الأشعة السينية المبعثرة وفقًا

$Cu_{x}-Bi_{1-x}Co_{3}O_{4}$ الفصل الثانى طريقة الترسيب وتقنيات التوصيف للأغشية الرقيقة

لاتجاهها في الفضاء تتداخل الأشعة السينية المبعثرة مع بعضها البعض، فتبلغ الشدة ذروتها في اتجاهات معينة، ويُعرف هذا بظاهرة" الحيود". يتم تسجيل الشدة المكتشفة كدالة لزاوية انحراف الشعاع 92[6]. وهذا موضح في الشكل (II-6):



الشكل (II-6): مخطط حيود Bragg.

يمكن تحديد الاتجاهات، التي يكون فيها التداخل بنّاءً، والتي تسمى" قمم الحيود"، ببساطة شديدة من خلال الصيغة المعروفة باسم قانون براج[6]:

$$2d_{hkl}sin\theta_{hkl}=n\lambda....(II-4)$$

لدليل (hkl). المسافة بين العمودين، أي المسافة التي تفصل بين مستويي الدليل d_{hkl}

sinhkl: زاوية سقوط الأشعة السينية على سطح المادة قيد الدراسة.

n: رتبة الانعكاس (عدد صحيح).

λ: الطول الموجى لحزمة الأشعة السينية.

يمكن حساب قيم معاملات الشبيكة للنظام التكعيبي من المعادلات التالية باستخدام معاملات (hkl) والتباعد بين المستوبين d.

$$a = d_{hkl} \times \sqrt{h^2 + k^2 + l^2} \tag{II - 5}$$

$Cu_x-Bi_{1-x}Co_3O_4$ النصل الثانى طريقة الترسيب وتقنيات التوصيف للأغشية الرقيقة

في دراستنا الحالية، استخدمنا مقياس حيود من نوع: "ريجاكو ميني فليكس600" (جامعة محمد خضر بجهد بسكرة)؛ تم إنتاج الأشعة السينية من مصدر إشعاع Cuka، بطول موجة يبلغ 1.541838 أمبير، بجهد تسارع 40 كيلو فولت وتيار 40 مللي أمبير[7].



الشكل (II-7): مقياس الحيود "ريجاكو ميني فليكس 600".

1.1.5.11. أبعاد البلورة

يُقدَّر حجم البلورة للعينة المفصَّلة من العرض الكامل عند نصف الحد الأقصى (FWHM) لخط الحيود الأكثر كثافة باستخدام معادلة شيرر على النحو التالي [8]:

$$D = \frac{0.9\lambda}{\beta \cos \theta} \qquad (II - 6)$$

D: حجم البلورة (نانومتر).

 λ : الطول الموجي للأشعة السينية (نانومتر).

β: العرض الكامل عند نصف الحد الأقصى للذروة (FWHM) بالراديان،

θ: زاویة براغ(rad).

يمكن حساب كثافة الانخلاعات(Dislocation Density) باستخدام قيم حجم الحبيبات وفقًا للعلاقة التالية[8]:

$Cu_x-Bi_{1-x}Co_3O_4$ النصل الثانى طريقة الترسيب وتقنيات التوصيف للأغشية الرقيقة

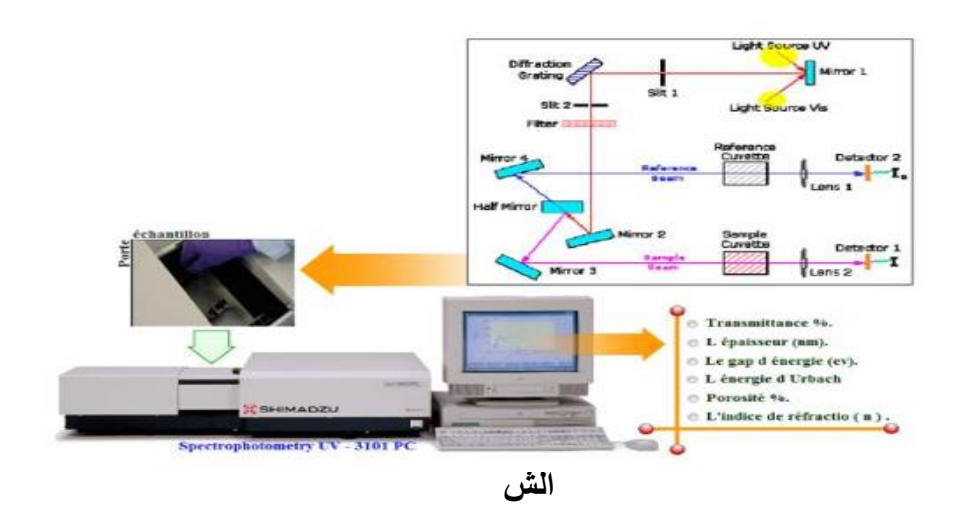
$$\delta = \frac{1}{D^2} \tag{II - 7}$$

يمكننا حساب التشوه باستعمال العلاقة التالية[9]:

$$\mathcal{E} = \frac{\beta \cos \theta}{4}....(II - 8)$$

UV-VIS) مطيافية الأشعة فوق البنفسجية والمرئية. (UV-VIS)

استخدمنا التحليل الطيفي بالأشعة فوق البنفسجية والأشعة المرئية الذي مكّننا من قياس المنحنيات التي تمثل التباين في النفاذية كدالة للطول الموجي. وباستغلال هذه المنحنيات، يمكننا تقدير سُمك الفيلم وتحديد خواصه الضوئية مثل حافة الامتصاص الضوئي ومعامل الامتصاص وعرض فجوة النطاق وطاقة أورباخ، ويوضح الشكل التالي مبدأ تشغيل مقياس الطيف الضوئي للأشعة فوق البنفسجية والأشعة المرئية والأشعة تحت الحمراء [10].



الشكل(١١-8): تمثيل تخطيطي لمقياس الطيف الضوئي.

يُعرّف معامل الإرسال، أو النفاذية (T)، بأنه نسبة شدة الضوء المرسل إلى شدة الضوء الساقط. وبتم حسابه مباشرة من المعادلة التالية [11]:

$$T = (1 - R)e^{-\alpha d}$$
.....(II - 9)

الفصل الثاني طريقة الترسيب وتقنيات التوصيف للأغشية الرقيقة Cux-Bi_{1-x}Co₃O₄

بالنظر إلى α كمعامل امتصاص للمادة، عندما نفكر في مادة متجانسة بسماكة b ونعرضها للسقوط العمودي، فإن كمية الضوء المنقولة أو النفاذية a0)، ممثلة كنسبة مئوية، تُعرَّف على النحو التالي a10]: a100 a10) a100 a10 a100 a10 a100 a100 a100 a100 a100 a100 a100 a100 a10 a100 a10 a10

حيث الضوء المنقول عند الخرج مكتوب وفقًا لقانون بير - المبرت[12]:

$$I = I_0 e^{-\alpha d}$$
....(II – 11)

(Swanepoel method) يسمك الغشاء (2.2.5.II

$$d = \frac{\lambda_1 \lambda_2}{2(\lambda_1 n_2 - \lambda_2 n_1)}....(II - 12)$$

حيث: n_1 و n_2 هما معامل انكسار الفيلم للطول الموجي n_1 على التوالي، يمكننا حساب n_1 و n_2 من العلاقة التالية:

$$n_{1,2} = \left[N_{1,2} + \left(N_{1,2}^2 - S^2\right)^{1/2}\right]^{1/2}....(II - 13)$$

باستخدام هذا الارتباط:N1,2هي مؤشرات انكسار الركيزة ويمكن الحصول على كحيث:

$$N_{1,2} = 2S \times \left[\frac{(T_M - T_m)}{T_M \times T_m}\right] + \left(\frac{S^2 + 1}{2}\right)$$
....(II – 14)

مع: T_{m1} هو الحد الأدنى للنفاذية الذي يتوافق مع (λ_2) هو الحد الأقصى للنفاذية المحصورة T_{m1} هو الحد الأ T_{m2} هو الحد الأقصى للنفاذية المحصورة بين T_{m1} و T_{m2} و T_{m2} .

3.2.5.II فجوة النطاق الممنوع الضوئي

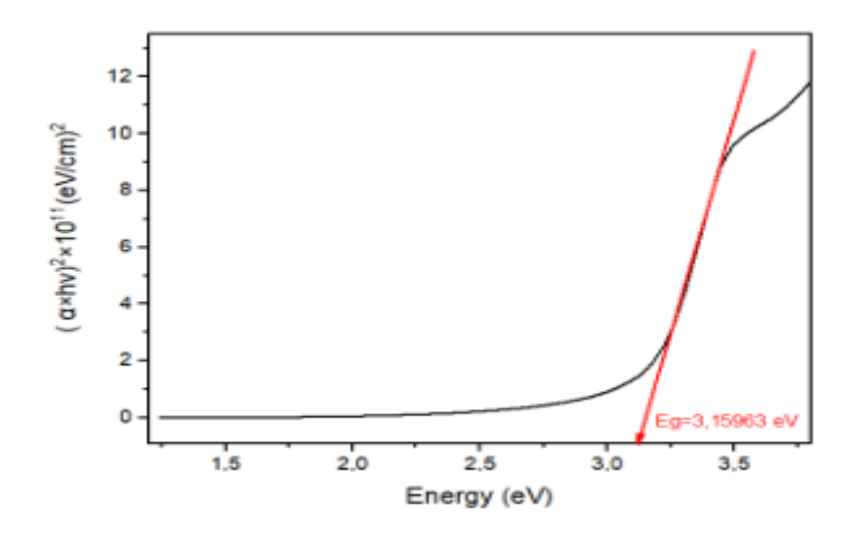
يتم تحديد طاقة الفجوة بواسطة معادلة(Tauc) [13]:

$$(\alpha vh)^n = A'(h \cdot v - Eg)....(II - 15)$$

حيث: hv هي طاقة الفوتون، وEg هي الفجوة الضوئية مو A هما ثابتان، وميميز النوع البصري للانتقال ويأخذ القيم 2، 1/2 (2 للانتقالات المباشرة المسموح بها أو 1/2 للانتقالات غير المباشرة المسموح بها). من

$Cu_x-Bi_{1-x}Co_3O_4$ النصل الثانى طريقة الترسيب وتقنيات التوصيف للأغشية الرقيقة

 $(\alpha h v)^2 = 1$ أجل تحديد طبيعة الانتقال من الأغشية التي تم إنتاجها في هذه الدراسة، سنقوم برسم المنحنيات $f(hv)^2 = 1$.

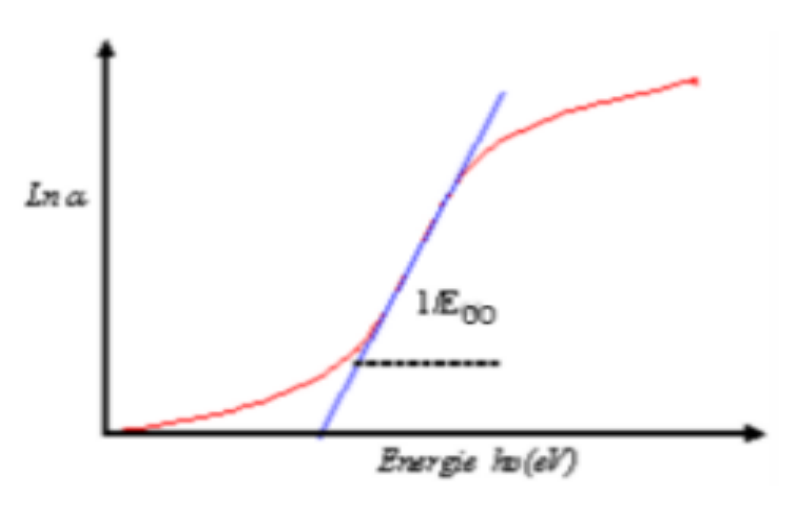


الشكل (II-9):تحديد طاقة الفجوة[14].

4.2.5.II. طاقة أورباخ

طاقة أورباخ ثابت مهم آخر يميز اضطراب المادة. ووفقاً لقانون أورباخ، يكون تعبير معامل الامتصاص على الشكل [15]:

$$lpha=lpha_0 e^{\left(rac{hv}{E_{00}}
ight)}$$
 (II – 16): E00 خيث $lpha$ هو ثابت و $lpha$ هو طاقة أورباخ. من خلال رسم $lpha$ کدالة له $lpha$ ، يمكننا تحديد قيمة $lpha$ 0 الم $lpha$ 1 الم $lpha=\lnlpha_0+rac{hv}{E_{00}}$ (II – 17)

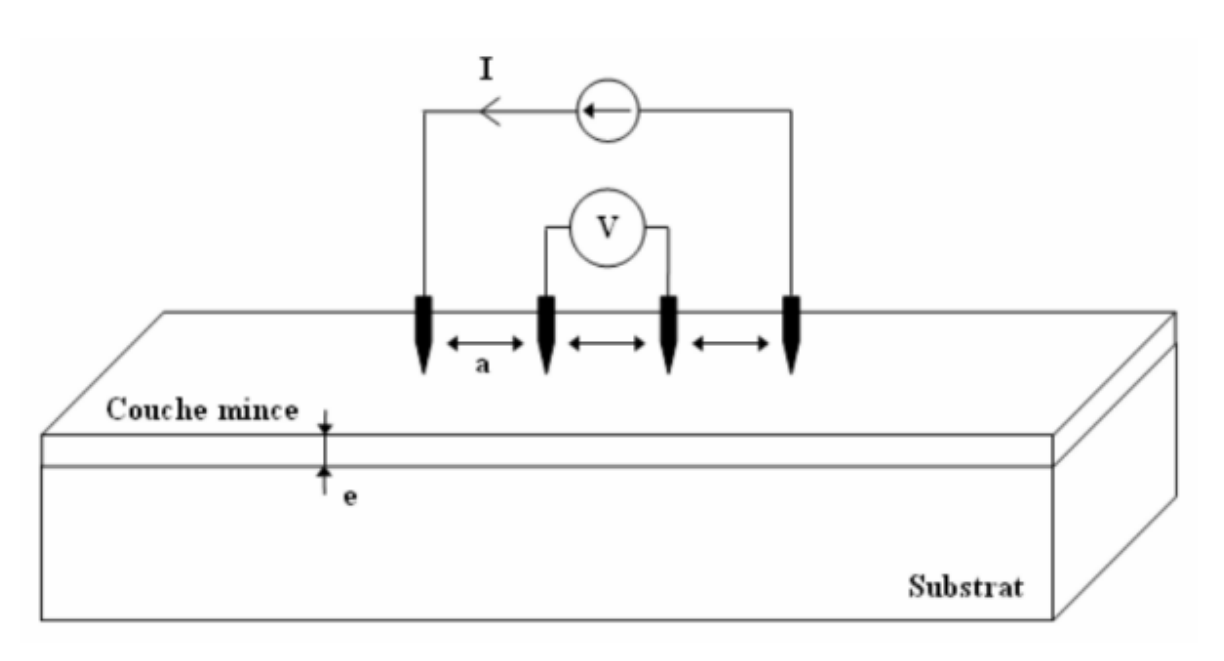


الشكل (II-II):تحديد طاقة أورباخ[14].

3.5. II. تقنية النقاط الأربع

تُستخدم قياسات المجس رباعي النقاط أو نقاط الأربعة لتحديد المقاومة النوعية للعينة السائبة أو الرقيقة. ومن خلال استخدام ترتيب المجسات الأربعة، تتعلق المقاومة النوعية المقاسة بالعينة نفسها، دون أي تأثير من نقطة التلامس كما هو ملاحظ في إعداد القطبين. يوضـــح الشــكل (١١.١١) تكوين القياس باستخدام أربعة مجسات. هنا، يتم إجراء تيار (١)عبر العينة، بينما يتم قياس الجهد (٧)، كما هو موضح في الشكل. بعد ذلك، يمكن حساب المقاومة النوعية للعينة، تستلزم هذه الحسابات بعض الافتراضات. وبالتحديد، يُفترض أن يكون الطرف المعدني صغيرًا بشكل متناهي الصغر ينطبق هذا بشكل خاص على العينات السائبة حيث يتجاوز سمكها (t) الأبعاد الجانبية بشكل كبير [16].

الفصل الثاني طريقة الترسيب وتقنيات التوصيف للأغشية الرقيقة Cux-Bi_{1-x}Co₃O₄



الشكل(II-II):الرسم التخطيطي لجهاز النقاط الأربعة [16].

1.3.5.II. المقاومة النوعية

 $\rho = R_s \times d = 4.532 \times \frac{U}{I}$(II – 18)

حيث 4.532 هو عامل الشكل الخاص بقياس الغشاء الرقيق V: الجهد المقيس بين المجسّين 2 و 3 (V)، I: التيار المطبق بين المجسّين 1 و 4 (A)، وبمعرفة سُمك الغشاء b.

من المقاومة النوعية للفيلم، يمكننا حساب توصيليته الكهربية باستخدام المعادلة التالية. الموصلية الكهربية هي معكوس المقاومة النوعية ويعبر عنها بوحدة $(\Omega.cm)^{-1}$.

$$\sigma = \frac{1}{\rho} \tag{II - 19}$$

المراجع:

[1]Herissi L. Élaboration par pulvérisation pyrolytique et caractérisation de couches minces semi-conductrices et transparentes d'oxyde de zinc: Perfectionnement du système de dépôt [Mémoire de Mastre], Université Larbi ben M'hidi-Oum el Bouaghi.

أ. عزوزة، تحضير ودراسة أفلام رقيقة لأكسيد النحاس النقي CuO والمطعم بالسترونتيوم Sr، مذكرة[2] ماستر، جامعة قاصدي مرباح ورقلة (2022).

ب. زوبيري، دراسة الشرائح الرقيقة لأكسيد الزنك المحضرة بطريقة الرش بالهواء المضغوط انطلاقا من[3] مصادر مختلفة للزنك، جامعة محمد خيضر، (2021).

[4]Kheira B. Optimisation des conditions d'élaboration (molarité et pression) des films minces de ZnO par spray [mémoire de magister]. Biskra (Algérie) : Université Mohamed Khider ; 2013.

[5]R. Singh et al, « Optimization of oxide-semiconductor/base-semiconductor solar cells», IEEE Transaction on electron devices, vol. 27, pp.656-662, 1980.

[6]Othmane M. Synthesis and characterization of zinc oxide (ZnO) thin films deposited by spray pyrolysis for applying: electronics and photonics [doctoral dissertation]. Biskra (Algeria): Université Mohamed Khider; 2021.

[7]Bencharef Z. Study of the effect of dopant on oxide thin films for optoelectronic applications [doctoral dissertation]. Biskra (Algeria): Université Mohamed Khider; 2022.

[8]Chaima C. Preparation and characterization of ZnO-based Schottky diode prepared with sol-gel [Mémoire de Mastre]. Biskra (Algeria): Université Mohamed Khider; 2024.

[9]Benkhetta Y. Elaboration and characterization of thin layers of zinc oxide (ZnO) deposited by ultrasonic spray for photovoltaic and optoelectronic applications [doctoral dissertation]. Biskra (Algeria): University of Biskra; 2019.

[10]Kouidri N. Contribution à l'étude de couches minces d'oxydes transparents conducteurs à base de zinc et cobalt par spray pneumatique [doctoral dissertation]. Biskra (Algeria): Université Mohamed Khider; 2019..

المراجع

- [11]Maache A. Elaboration et caractérisation optique des couches minces de ZnO dopé ou Codopé obtenues par méthode sol-gel [doctoral dissertation]. Sétif (Algeria): Université Ferhat Abbas Sétif 1; 2021.
- [12]Yahia A. Optimization of indium oxide thin films properties prepared by sol gel spin coating process for optoelectronic applications [doctoral thesis]. Biskra (Algeria): University of Biskra; 2020.
- [13] Tauc J, Grigorovici R, Vancu A. Optical properties and electronic structure of amorphous germanium. Phys Status Solidi B. 1966;15(2):627-37.
- [14] K Y, Temam EG, Saâd R, Barkat H. Effect of film thickness on the electrical and the photocatalytic properties of ZnOnanorods grown by SILAR technique. Phys Scr. 2023; 98(12): 125954.
- [15]Swanepoel R. Determination of the thickness and optical constants of amorphous silicon. J Phys E SciInstrum. 1983;16(12): 1214.
- [16] Benramache S. Elaboration et caractérisation des couches minces de ZnO dopées cobalt et indium [Thèse de Doctorat]. Biskra, Algérie: Université de Biskra; 2012.

الفصل الثالث: عرض النتائج، تحليلها ومناقشتها

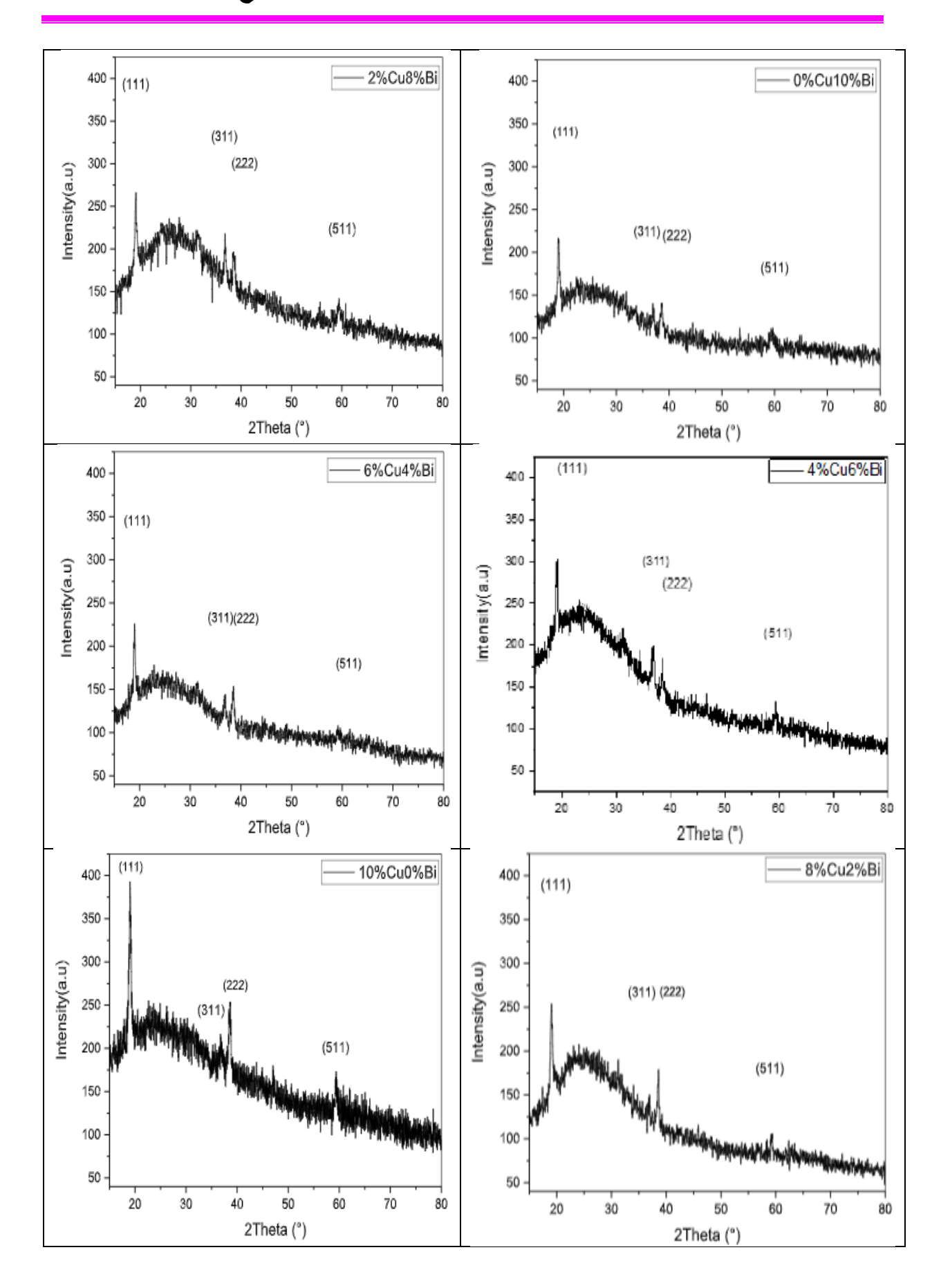
1.11 مقدمة

في هذا الفصل سنتناول تحليل الشرائح الرقيقة لأكسيد الكوبالت المحضر تحت ظروف مختلفة من Bi -2%Cu)،(6% Bi -4%Cu)،(4% Bi -6%Cu)،(2% Bi -8%Cu)،(0% Bi -10%Cu)،(6% Bi -2%Cu)،(6% Bi -6%Cu)،(2% Bi -8%Cu))،(6% Bi -10%Cu)،(8% التي تعطي (DRX))،من خلال عدة تقنيات منها تقنيات حيود الأشعة السينية (DRX) التي تعطي معلومات حول البنية البلورية ومطيافية الأشعة فوق البنفسجية المرئية(UV-visible spectroscopy).

Structural properties.الخصائص البنيوبة 2.III

XRD حيود الأشعة السينية. 1.2. III

يوضح الشكل (X-ray diffraction XRD) أنماط حيود الاشعة السينية (Cu يوضح الشكل (X-ray diffraction XRD) والبيس ميث Bi. حيث نلاحظ من خلال أكسيد الكوبالت النقية والمطعمة بالتطعيم المشترك بالنحاس Cu والبيس ميث Bi. حيث نلاحظ من خلال منحنيات أطياف DRX ظهور عدة قمم(Peaks)عند °19.06° (31.38° (31.38° (30.81°)30.81°)30.50° (31.38°)30.50° (31



الشكل (III-1): أطياف الأشعة السينية DRX للشرائح الرقيقة لأكسيد الكوبالت المطعم بالنحاس والبسميث عند نسب مختلفة.

Name and formula		No.	h	k	1	d [A]	2Theta [dec	
Reference code:	01-073-1701	1 2 3	2	2	0	4,66701 2,85795 2,43727	19,001 31,272 36,848	18,1 32,4 100,0
Compound name:	Cobalt Oxide	4 5	2	2	2	2, 43727 2, 33351 2, 02087	38,550 44,813	9,3
Common name:	Cobalt dicobalt(III) oxide	6	3	3	1	1,85448	49,086	0,1
ICSD name:	Cobalt Oxide	8	5	1	1	1,65004 1,55567	55,658 59,360	7,6 28,8
Empirical formula:	CO3O4	9 10	5	3	1	1,42897 1,36636	65,239 68,633	31,4
Chemical formula:	Co³O⁴	11 12	6	4 2	0	1,34725	69,746 74,125	0,1 2,0
		13 14	5	3 2	3 2	1,23272	77,347 78,411	5,9
Crystallographic parameter	5	15 16	4	4	4	1,16675	82,632 85,769	1,7
Crystal system:	Cubic		•	•	•	.,		4,.
Space group: Space group number:	Fd-3m 227	Stick	k Pat	tern				
a (Å):	8,0835	Imenity (9						
b (Å):	8,0835	manual (s	100 - That I	attent Cols	H Dride 01-075	761		
c (Å):	8,0835							
Alpha (°): Beta (°):	90,0000							
Gamma (°):	90,0000							
Calculated density (g/cm^3):	6,05							
Volume of cell (10^6 pm^3):	528,20							
Z:	8,00		50 -					
RIR:	4,48							
Subfiles and quality								
Subfles:	Alloy, metal or							
	intermetalic		و الله					
	Corrosion ICSO Pattern		29		30	40 50 Bratton	12Theral (Copper (Cu)	70 10
	Inorganic					Patrick .	county (militar (mil)	
Quality:	Calculated (C)							
Comments								
ICSD collection code:	024210							
Creation Date: Modification Date:	01/01/1970							
ICSD Collection Code:	01/01/1970 024210							
Temperature Factor:	ITF. Chalkogenides							
	of the transition							
	elements, VI. X-Ray,							
	neutron, and							
	magnetic							
	investigation of the							
	spinels Co3 O4, Ni							
	Co2 O4, Co3 S4, and Ni Co2 S4. e d a							
	(FD3-MZ). AB2X4.							
Poforoneos								
References								
Primary reference:	Calculated from ICSD using POWD-12++,							
	(1997)							
Structure:	Knop, O., Reid,							
	K.I.G., Sutamo, Nakagawa, Y., Can.							
	Nakagawa, Y., Can. J. Chem., 46, 3463,							
	(1968)							
Peak list								

الشكل (JCPDS 01-073-1701):بطاقة الدولية للقياسات (JCPDS 01-073-1701).

2.2.III. تحديد ثابت الشبكة:

لتحديد ثابت الشبكة لشرائح الرقيقة لأكسيد الكوبالت المطعم بالبسميث والنحاس، قمنا بحسابه من خلال زواية الانعراج الموافقة للهدب (111) باستخدام العلاقة(II-5). الجدول (III—1) يلخص النتائج المتحصل عليها.

الجدول (١١١١): الخصائص البلورية للشرائح الرقيقة لأكسيد الكوبالت المطعم بالنحاس والبسميث.

20	dhki	hkl	a (A°)	نسبة التطعيم لBi	نسبة التطعيم لِCu
19.14	4.638	(111)	8.0333	10%	0%
19.06	4.657	(111)	8.0661	8%	2%
19.15	4.635	(111)	8.0281	6%	4%
18.98	4.676	(111)	8.0991	4%	6%
19.04	4.661	(111)	8.0731	2%	8%
19.03	4.686	(111)	8.1164	0%	10%

3.2.III الحجم الحبيبي والانخلاع والتشوه:

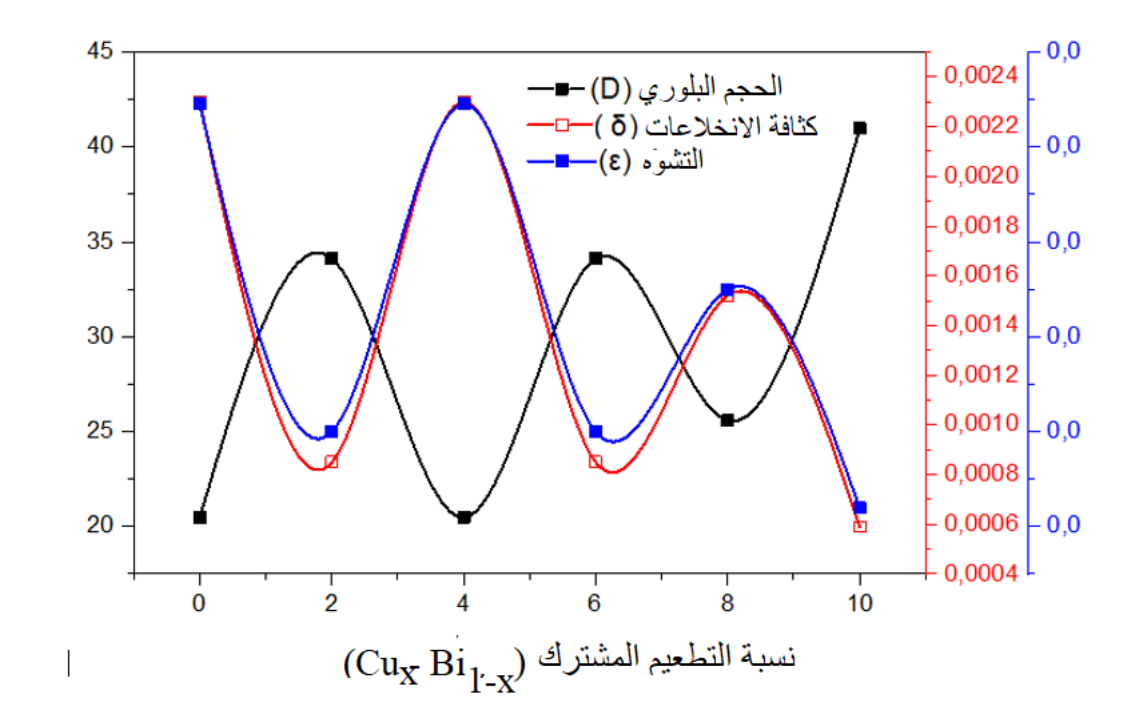
تم حساب الحجم الحبيبي C، كثافة الانخلاع 8والتشوه عبالاعتماد على العلاقات (II-6)، (II-7) و حساب الحجم الحبيبي وكثافة الانخلاع والتشوه لجميع العينات و (II-8). يلخص الجدول (III-2)القيم المناظرة لحجم الحبيبي وكثافة الانخلاع والتشوه لجميع العينات

الجدول (2-III):قيم المتغيرات البنيوبة لأغشية Co3O4المطعمة بالنحاس والبسميث.

Δ	3	D(nm)	β(rad)	السمك	نسبة التطعيم	نسبة التطعيم
				d(nm)	Bi	Cu
0.0024	0.0017	20.4838	0.0069	326.71	10%	0%
0.0009	0.0010	34.1299	0.0041	370.72	8%	2%
0.0024	0.0017	20.4841	0.0069	430.35	6%	4%
0.0009	0.0010	34.1259	0.0041	392.52	4%	6%
0.0015	0.0014	25.5995	0.0055	410.05	2%	8%
0.0006	0.0009	40.9610	0.0034	405.91	0%	10%

توضح المنحنيات(III-3) تغيرات كل من الحجم البلوري وكثافة الإنخلاعات والتشوه بدلالة نسب التطعيم المختلفة، حيث نلاحظ أن حجم الحبيبات يتغير بشكل تذبذبي، حيث تتراوح قيمتها بين 20.48 إلى 40.96 المختلفة، حيث نلاحظ أن حجم الحبيبي عند (3 Bi -10%Cu) بلغت 40.96 اللختلاف الى الاختلاف الى الاختلاف في سمك العينات. العلاقة بين سمك الأغشية الرقيقة (film thickness) والحجم البلوري (crystallite size) اليست مباشرة دائمًا، لكنها مرتبطة بشكل غير مباشر عبر ميكانيكيات النمو البلوري والتراص البنيوي أثناء الترسيب. قد ينتج هذا عن تأثر الديناميكا الحرارية وحركية نمو البلورات بوجود النحاس، ربما من خلال آليات مثل زبادة حركة الذرات أو تغيرات في طاقة السطح [4,3].

وتعرف كثافة الانخلاع 6 بأنها عيب خطي يمتد داخل البلورة وهي كقيمة عددية تحدد كمية العيوب داخل الشبكة البلورية. أما بالنسبة إلى التشوه ٤ فهو أيضا يعبر عن نسبة العيوب في حدود الحبيبات وكذلك التشوهات التي طرأت على الشبكة البلورية بسبب الاجهادات الداخلية الناتجة بين سطح الركيزة والطبقة المتحصل عليه، حيث نلاحظ من الشكل (III-3) أن حجم الحبيبات يتناسب تناسبا عكسيا مع متوسط الإجهاد والتشوه وقد يؤدي ذلك إلى زيادة العيوب والمساحات الفارغة في البنية البلورية مع تناقص حجم الحبيبات والعكس صحيح، أي أن كل من كثافة الانخلاع والتشوه يؤثران سلبا على جودة تبلور الأفلام الرقيقة.

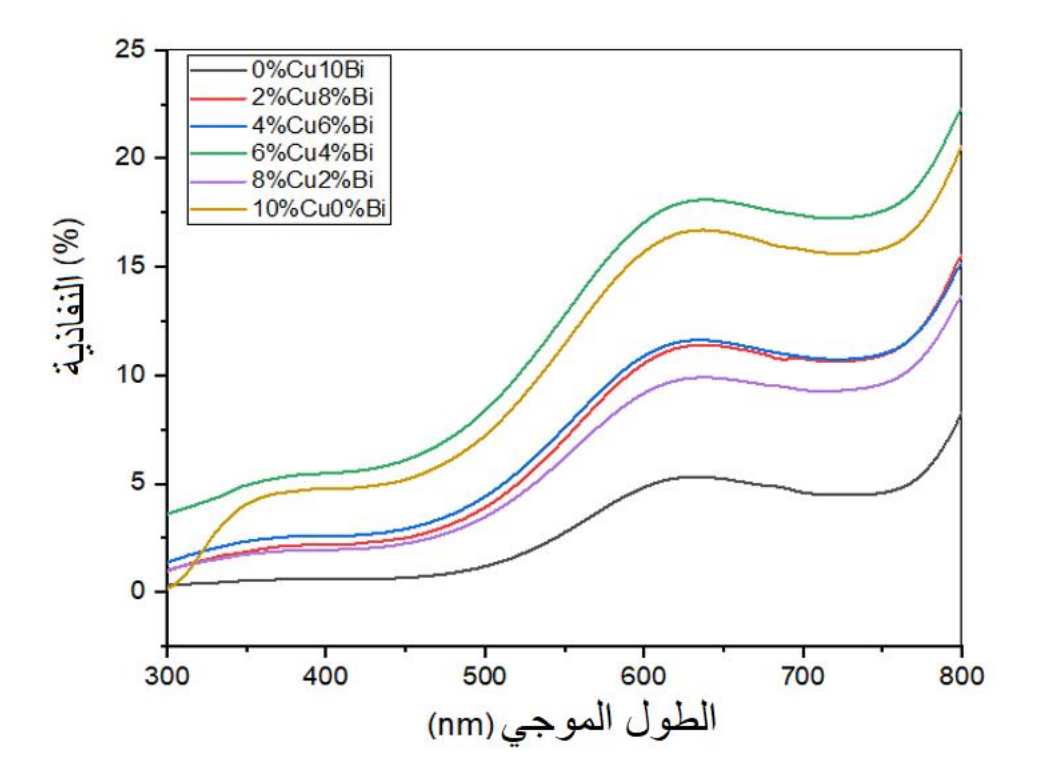


الشكل (III-3): تغيرات كل من حجم البلوري (D) وكثافة الانخلاع (δ) والتشوه (٤) لأكسيد الكوبالت المطعم بالنحاس والبسميث.

Optical properties.الخصائص البصرية.3.III

1.3.III. النفاذية

تمت دراسة النفاذية ضمن مجال الأطوال الموجة (mn 800-300) للشرائح الرقيقة لأكسيد الكوبالت المطعم بنحاس وبسميث بنسب مختلفة، المترسبة بتقنية الانحلال الحراري بالرش، حيث يوضح الشكل(4-III) العلاقة البيانية لأطياف النفاذية بدلالة الطول الموجى.



الشكل(HI-1): أطياف النفاذية الضوئية لأكسيد الكوبالت المطعم بدلالة لطول الموجة.

لقد أوضحت النتائج أنا النفاذية تزداد بزيادة الأطوال الموجية للأغشية الرقيقة، نلاحظ أن أقل نفاذية هي تلك الخاصة بالفيلم المطعم (10% Bi-0%Cu)، مع زيادة نسبة التطعيم بالنحاس نلاحظ تحسن في قيمة النفاذية، حيث أعلى قيمة كانت عند الفيلم المطعم (4% Bi-6%Cu)، حيث بلغت %22 على المجال قيمة النفاذية، حيث أعلى قيمة كانت عند الفيلم المطعم (600-800 nm).

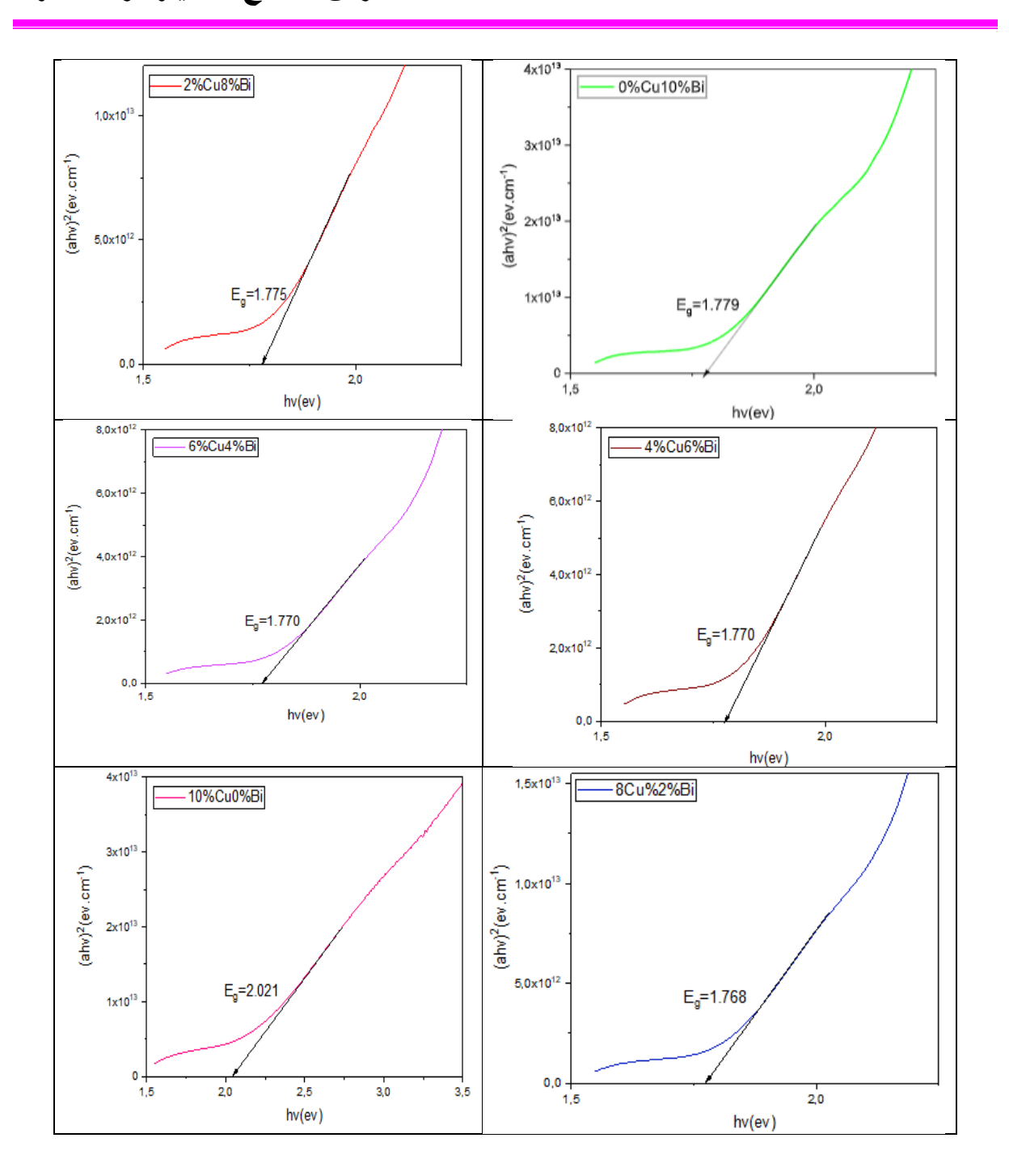
تتميز أطياف النفاذية بشكل عام بوجود منطقتين للامتصاص تقعان بين(300-600nm)، وبين $(O^{2-} \to Co^{+3})$ ، ويفسر ذلك بظاهرة انتقال الشحنة $(O^{2-} \to Co^{+2})$ في النطاق الأول و $(Co^{+3} \to Co^{+3})$ في النطاق الثاني للأغشية (Co_3O_4) ، يشير هذا إلى وجود طاقتين لفجوة النطاق كما هو موضح في الأدبيات العلمية (Co_3O_4) .

Eg الفاصل الطاقي. 2.3.III

يتم تحديد قيم الفاصل الطاقي من خلال علاقة(Tauc) (Tauc)، حيث يتم إنشاء التمثيل البياني لدالة (αhv) بدلالة المتغير في طاقة الفوتون(hv) ثم رسم مماس يقطع منحنيات الطاقة أين تمثل نقاط التقاطع مع محور الفواصل قيم الفاصل الطاقي[5]، الشكل (III-5) يوضح كيفية تعين قيم الفاصل الطاقي لأكسيد الكوبالت مطعم بالنحاس والبسميث. تم تسجيل النتائج في الجدول (3-III).

الجدول (3-III): قيم الفاصل الطاقي وطاقة أورباخ لأكسيد الكوبالت المطعم بBi و Cu.

10%	8%	6%	4%	2%	0%	نسبة التطعيم لCu
0%	2%	4%	6%	8%	10%	نسبة التطعيم لBi
2.021	1.768	1.770	1.770	1.775	1.779	Eg (eV)
0.57	1.20	1.14	1.13	1.04	0.94	Eu (eV)



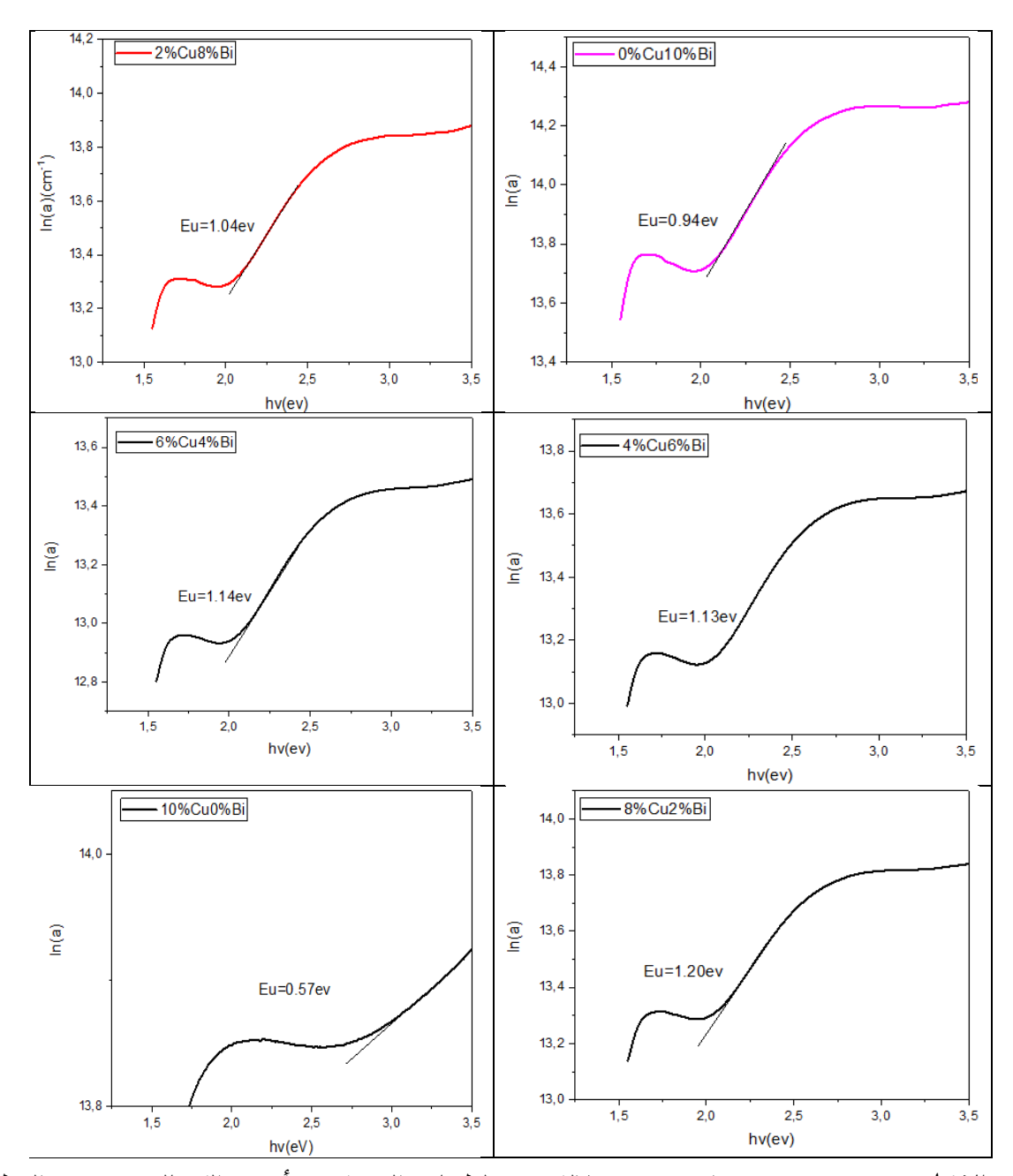
الشكل (α hv)² منحنى تغيرات $(\alpha$ hv)² بدلالة (α hv) لطبقات الرقيقة من أكسيد الكوبالت $(\alpha$ hv)² المطعم بنسب مختلفة من النحاس والبسميث.

من خلال الجدول نلاحظ أن هناك تغير في فجوة الطاقة وتتراوح قيمتها بين(2.021-1.768eV)، حيث أنه مع زيادة نسبة النحاس ونقصان نسبة البسميث نلاحظ تناقص في طاقة الفجوة لأكسيد الكوبالت

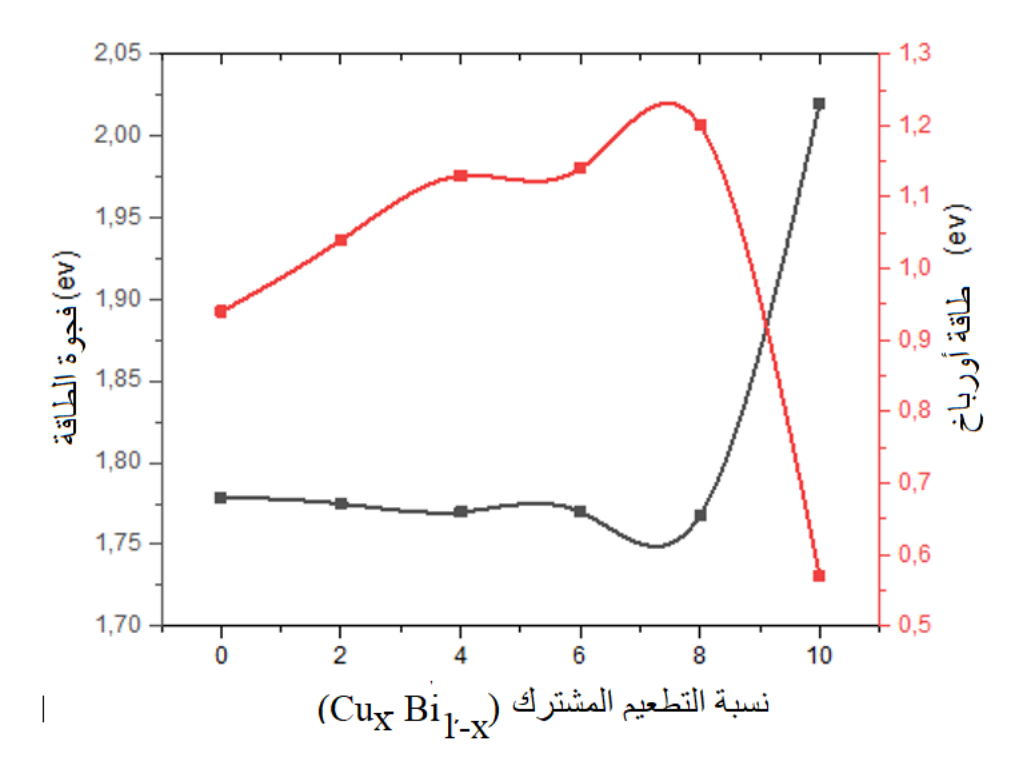
عند نسبة تطعيم (2.021ev) وجدت عند (2% Bi-8%Cu) التتزايد بعد هذه القيمة إلى أعلى طاقة (2.021ev) وجدت عند (2.021ev) وجدت عند (2.00 Bi-10%Cu). يمكن تفسير هذا الانخفاض في Eg بتكوين مستويات طاقة موضعية بالقرب من حافة حزمة التكافؤ، مما يؤدي إلى امتصاص فوتونات ذات طاقة أقل، وبالتالي زيادة الانتقالات الإلكترونية وتقليل الفاصل الطاقي. هذا يسبب انزياحًالحواف الامتصاص نحو أطوال موجية أكبر مما يؤدي الى تناقص طاقة الفجوة يمكن ان يعود هذا الانخفاض الى اسببدال كاتيون النحاس والبسميث بأيونات الكوبالت في مواقع الشبكة البلورية مما يسبب في تضيق الفجوة[6]. إن الانخفاض في طاقة الفجوة قد يشير الى تحسين النمو البلوري وتقليل الحصر الكمومي quantum confinement، حيث نقل المسافات المتاحة لحركة الالكترونات والفجوات [7,1]. يمكن القول ان هناك الكثير من العوامل التي تؤثر على فجوة الطاقة منها نوع الغشاء المحضر وطريقة الترسيب وحجم البلورة، تشوه الشبكة، تركيز المادة الاولية.

Euخاقة اورباخEu

يتم تحديد طاقة أورباخ من خلال رسم منحنى تغيرات $\ln(\alpha)$ بدلالة التغير في طاقة الفوتون (hv)كما موضح في الشكل E_u بين E_u تمثل طاقة أورباخ وهو ميل الجزء الخطي من المنحنى بجوار حافة الامتصاص[5]. نلاحظ من خلال الجدول (3-III)أن قيم طاقة اورباخ لشرائح أكسيد الكوبالت المطعمة تتزايد مع زيادة نسبة التطعيم بالنحاس ونقصان نسبة التطعيم بالبسميث. يمثل الشكل (7-III)تغير الفجوة الطاقة وطاقة أورباخ لأغشية (7-III) بدلالة نسب التطعيم المختلفة، حيث نلاحظ أن العلاقة بين طاقة أورباخ وفجوة الطاقة عكسية، هذا ناتج عن زيادة عدد الحالات الإلكترونية الموضعية داخل الفجوة الطاقة نتيجة اضطرابات البنيوية و تشويه للشبكة البلورية وخلق عيوب بلورية، هذه الحالات تسمح بامتصاص فوتونات ذات طاقة أقل، مما يقلل من (7-III)



الشكل (hv) المطعم المشكل (hv) المبات المرقيقة من أكسيد الكوبالت $\ln(\alpha)$ المطعم الشكل (hv) المبات المرقيقة من النحاس وبسميث.



الشكل (III-7): تغيرات طاقة فجوة وطاقة اورباخ بدلالة نسب التطعيم المشترك لـ Cu،

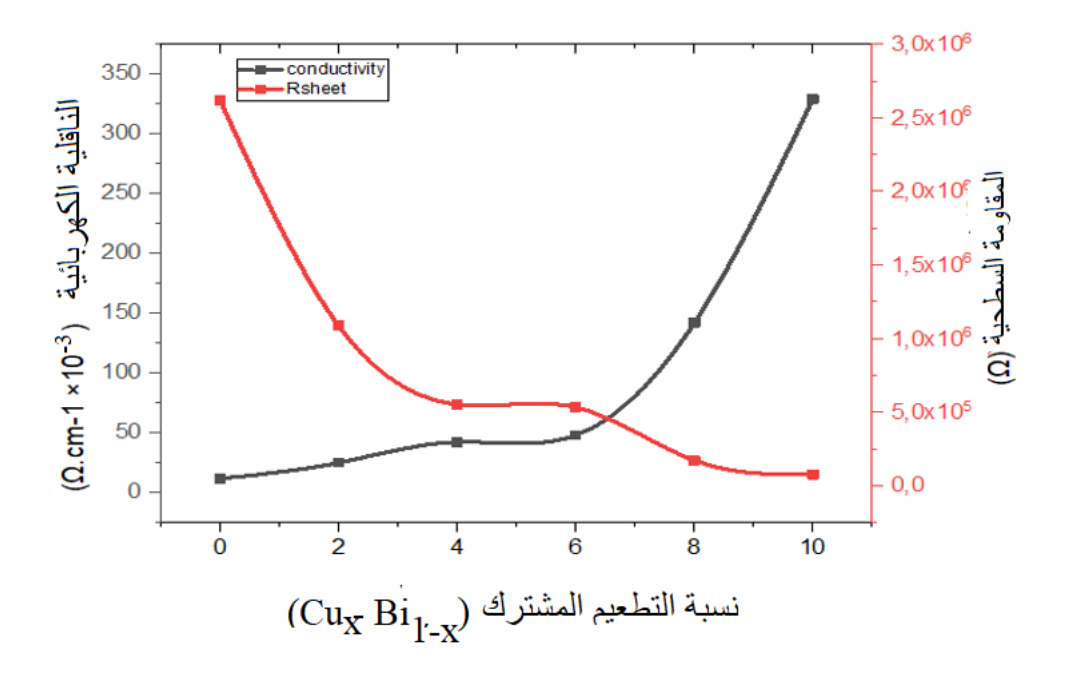
4.III. الخصائص الكهربائية

تم قياس التباين في الناقلية الكهربائية σوالمقاومة السطحية R_{sh} لأغشية أكسيد الكوبالت بتقنية النقاط الأربع ودونت النتائج في الجدول (4-III). تُظهر النتائج تذبذبا فيقيم المقاومة (Rsheet) وانخفاضًا في المقاومة النوعية، مع زيادة قيم الناقلية الكهربائية كلما زاد التطعيم بـ Cu.

الجدول (HI-1): ملخص النتائج المتحصلة عليها بطريقة النقاط الأربعة.

10%	8%	6%	4%	2%	0%	نسبة التطعيم Cu
0%	2%	4%	6%	8%	10%	نسبة التطعيمBi
749.20	171.92	531.79	550.93	108.69	262.00	$ m R_{sh}(\Omega)$ المقاومة السطحية
						×10 ⁴
3.04	7.05	20.87	23.71	40.29	60.85	$ ho \; (\Omega \; .cm)$ المقاومية
328.83	141.85	47.91	42.18	24.82	11.68	الناقلية الكهربائية
						$\sigma(\Omega.\text{cm})^{-1} \times 10^{-3}$

يوضح الشكل (III-8) تغيرات الموصلية الكهربائية والمقاومة السطحية للشرائح الرقيقة لأكسيد الكوبالت المطعم. نلاحظ هناك علاقة عكسية بين الموصلية الكهربائية والمقاومة السطحية، كما نلاحظ زيادة في قيم الموصلية الكهربائية مع الزيادة في نسب التطعيم ب Cu إلى أن وصلت الحد الأدنى -328.83(Ω.m). يُعزى هذا الارتفاع بشكل رئيسي إلى زيادة تركيز الناقلات (الفجوات). ويُعزى انخفاض المقاومة الملحوظ مع زيادة معامل الامتصاص إلى زيادة تركيز الفجوات في نطاق التكافؤ نتيجةً للانتقالات الإلكترونية إلى نطاق التوصيل والفجوات الناتجة عن عدم توازن شبكة الأكسجين في حبيبات 403،03 من النوع [9].



الشكل(١١١-8): منحنى تغيرات الموصلية الكهربائية والمقاومة السطحية بدلالة نسب التطعيم.

المراجع المراجع:

- [1]Bencharef Z, Benkhetta Y, Messemeche R, Belhamra N, Rahmane S, Chala A. Remarkable reactions of doped and Co-doped Co3O4 thin films synthesized by spray pyrolysis technique for enhanced catalytic degradation of methylene blue dye under sunlight irradiation. Reaction Kinetics, Mechanisms and Catalysis. 2025;138(2):1079-1093.
- [2] Hafas S, Belhamra N, Bencharef Z, Redjouh N, Gasmi B, Rahmane S. Impact of copperdoped cobalt oxide thin films on the photocatalytic degradation of methylene blue dye under sunlight irradiation. React KinetMechCatal. 2025;1-18.
- [3] Bouhaf Kherkhachi I, Attaf A, Saidi H, Bouhdjar A, Bendjdidi H, Benkhetta Y, Azizi R, Aida MS. Structural morphological, optical and electrical characterization of spray ultrasonic deposited SnSO2 thin film. Opti; 2016.
- [4] Lakehal A, Bouaza A, Benrabah B, Dalache CH, Benhebal H. Characterization of Mn-doped Co3O4 thin films prepared by sol gel-based dip-coating process. High Temperature Materials and Processes;2018.
- [5] Yousra K, Temam EG, Saâd R, Barkat H. Effect of film thickness on the electrical and the photocatalytic properties of ZnOnanorods grown by SILAR technique. PhysicaScripta. 2023;98(12):125954.
- [6]Saadi B, Rahmane S, Temam EG. Structural, optical and electrical properties of spray deposited indium-doped Cr2O3. J Opt; 2023.
- [7] Hettal S, Ouahab A, Rahmane S, Benmessaoud O, Kater A, Sayad M. Effect of the number of dips on the properties of copper oxide thin films deposited by sol-gel dip-coating technique. Iran J Mater Sci Eng. 2022;19(1).
- [8]Zahan M, Podder J. Surface morphology, optical properties and Urbach tail of spray deposited Co3O4 thin films. J Mater Sci Mater Electron. 2019;30(4):4259-69.
- [9]Kouidri N, Rahmane S. Effect of cobalt chloride concentration on structural, optical and electrical properties of Co3O4 thin films deposited by pneumatic spray. J New Technol Mater. 2020;10(01):56-62.

الخاتمة العامة

الخاتمة العامة

تم تحضير أغشية أكسيد الكوبالت المطعم بالنحاس بالبسميث بنسب (8% Bi -2%Cu)، (0% Bi -4%Cu)، (4% Bi -6%Cu)، (2% Bi -8%Cu)، (0% Bi -10%Cu) مختلفة (10% Bi -0%Cu)، على الركائز الزجاجية باستخدام تقنية الرش بالانحلال الحراري (10% Bi -0%Cu)، على الركائز الزجاجية باستخدام تقنية الرش بالانحلال الحراري (10% Bi -0%Cu) مصدر لعنصر الكوبالت بتركيز درجة حرارة 400°C ،حيث استعملنا كلورير الكوبالت (CoCl₂،H₂o) كمصدر للنحاس BiCl₃ أين تمت مولاري (C=0.2 mol/l) وكلوريد النحاس البنيوية والبصرية والكهربائية لأغشية المطعمة.

- تمت دراسة الخصائص البنيوية بواسطة تقنية حيود الأشعة السينية DRX، اين أظهرت النتائج أن الأغشية المحضرة ذات بنية مكعبة متعددة البلورات من نوع الاسبينيل والاتجاه السائد (111) هو المفضل لأغشية أكسيد الكوبالت المطعمة، كما وجدا أنحجم الحبيبي يتناسب عكسيا مع كل من δ وعود ذلك الى زيادة العيوب والمساحات الفارغة في البنية البلورية مع تناقص حجم الحبيبات والعكس صحيح.
- شخصت الخواص البصرية للأغشية المحضرة بتقنية التحليل الطيفي للأشعة فوق البنفسجية المرئية، اين سمحت الدراسة البصرية من خلال منحنى النفاذية في مجال الاطوال الموجية (300-800 nm) فقد وجدا ان النفاذية تزداد بزيادة الأطوال الموجية للأغشية الرقيقة ،حيث أن أقل قيمة للنفاذية سجلت للفيلم المطعم بنسبة (60 Cu 10% Bi) واكبر قيمة 22%عند العينة المطعّمة بنسبة 60% مسجلت للفيلم المطعم بنسبة (10% Cu 10% Cu) واكبر قيمة للفائية المطعمة بنسبة (10% Bi -10% Cu) مما يدل على تحسن النفاذية، كما لحظ أن العينة لمطعمة ب (يادة عدد الحالات تملك أكبر قيمة للفاصل الطاقي و أقل قيمة لطاقة أورباخ، مما يدل على زيادة عدد الحالات الإلكترونية الموضعية داخل الفجوة الطاقة نتيجة اضطرابات البنيوية.
- من خلال دراسة الخصائص الكهربائية باستخدام تقنية المسابر الأربعة، حيث لوحظ زيادة في قيم الناقلية الكهربائية مع الزيادة في نسب التطعيم ب Cu أن بلغت أعلى قيمة عند Cu قيم الناقلية الكهربائية مع الزيادة في نسب الناقلية الكهربائية بزيادة تركيز الفجوات في المادة، نتيجة الانتقالات الإلكترونية واختلال في شبكة الأكسجين داخل بنية Co_3O_4 .

الملخص

قمنا في هذا العمل بترسيب شرائح الرقيقة من أكسيد الكوبالت المطعم بالنحاس وبالبسميث على ركائز زجاجية بتقنية الانحلال الحراري بالرش عند درجة حرارة 400°C بنسب مختلفة، الهدف من هذه التجربة دراسة تأثير التطعيم المشترك بالنحاس(Cu)والبزموث (Bi)على الخصائص الفيزيائية (البنيوية، البصرية والكهربائية) لأفلام أكسيد الكوبالت (Co₃O₄).لتوصيف هذه العينات، استخدمنا عدة تقنيات، مثل حيود الأشعة السينية، والتحليل الطيفي للأشعة فوق البنفسجية والمرئية، وطريقة النقاط الأربع.

الكلمات المفتاحية: أفلام رقيقة Co3O4، المنشطات Cu-Bi، تقنية الانحلال الحراري، الخواص الفيزيائية.

Summary

In this work, thin films of cobalt oxide Co-doped with copper and bismuth were deposited on glass substrates by spray pyrolysis at a temperature of 400°C with different ratios. This experiment aims to study the effect of co-doping with copper (Cu) and bismuth (Bi) on the physical properties (structural, optical, electrical) of thin films of cobalt oxide (Co₃O₄). To characterize these samples, several techniques were used, such as X-ray diffraction, ultravioletvisible spectroscopy, and the four-point probe method.X-ray diffraction showed that the deposited thin films are polycrystalline and have a cubic spinel structure with the preferred orientation (111). Ultraviolet-visible spectroscopy showed that the highest transmittance value was recorded at 22% for the sample doped with (6% Cu- 4% Bi), indicating an improvement in transmittance. It was also observed that the sample with the ratio (10% Bi - 0% Cu) possesses the largest energy gap and the lowest Urbach energy, as the increase in structural defects and distortion in the crystal lattice leads to the appearance of localized electronic states within the gap. As for the four-point probe method showed a clear improvement in electrical conductivity from 11.68 to 328.83 $(\Omega \cdot m)^{-1}$ with the increase in the bismuth ratio and decrease in copper. This improvement is attributed to the increase in hole concentration resulting from electronic transitions to the conduction band and the imbalance of the oxygen network in the Co₃O₄ structure.

Keywords: Co₃O₄ thin films, Cu-Bi doping, spray pyrolysis technique, physical properties.

REPUBLIQUE ALGERIENSE DEMOCRATIQUE ET POPULAIRO MINISTÈRE DE L'ENNEIGNEMENT SUPERIEUR ET DE LA RECHERCHE SCIENTIFIQUE UNIVERSITE MOHAMED KHIDER - BISKRA



العمهورية الجزئرية الديمقراطية التعبية وزارة التعليم العالي والبحث العلمي جامعة محمج خيضر بسكرة غلبة العلوم الدنينية

Faculté des SE

Département des Sciences de la matière

قسم :علوم المادة

شعبة :القيزياء

Filière: Physique

تصريح شرفيي ص بالالتزام بقواعد النزاهة العلمية لإنجاز بحث (ملحق القرار 1082 المؤرخ في 2021/12/27)

انا الممضى اسفله، السيد(ة): المقبل المسياء السيد(ة): المقبل المسياء السيد(ة): المقبل المسياء المسياء المسياء المسياء المسياء المسياء المسياء المسيد المسياء المسيد المسيد

أصرح بشرفي أني التزم بمراعاة المعايير العلمية والمنهجية ومعايير الأخلاقيات المهنية والنزاهة الأكاديمية المطلوبة في انجاز البحث المذكور أعلاه وفق ما ينص عليه القرار رقم 1082 المورخ في 2021/12/27 المعابد للقواعد المتعلقة بالوقاية من السرقة العلمية ومكافحتها.

يدُ كسر الكي المناحب الم

التاريخ: 2.6./.5.م./..5.م.م. 2.م.م. 2.م.م.م. إمضاء المعنى بالأمر

£